

Figura 1. Legge di regressione tra $D_m^{1/3}$ e $\text{Log}(A_m)$ relativa a parte dei dati di Tab. 6. I numeri in corrispondenza dei punti sono i codici delle stazioni. In figura sono anche riportati, per confronto e senza codici, i dati di Ponte Colonna e S. Giuliano (in basso a sinistra) e del Noce a La Calda ed a Le Fornaci (in alto a destra).

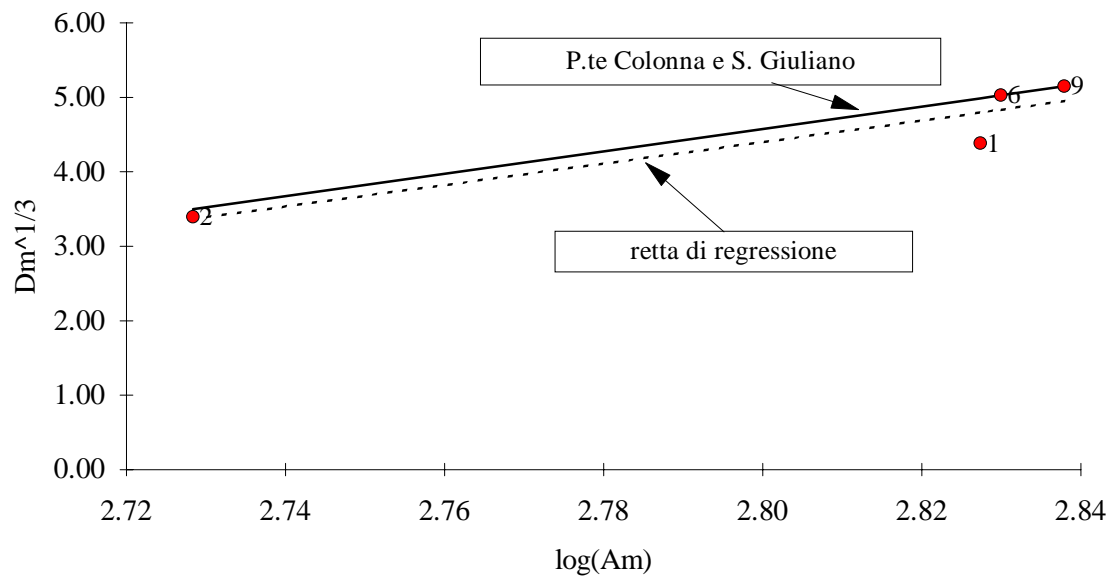


Figura 2. Legge $D_m^{1/3} - \log(A_m)$ adottata per il bacino del Bradano. La retta a tratteggio rappresenta la legge di regressione stimata usando i dati di tutte le sezioni di misura. La retta continua indica la legge adottata, ottenuta usando i soli dati di Ponte Colonna e S. Giuliano.

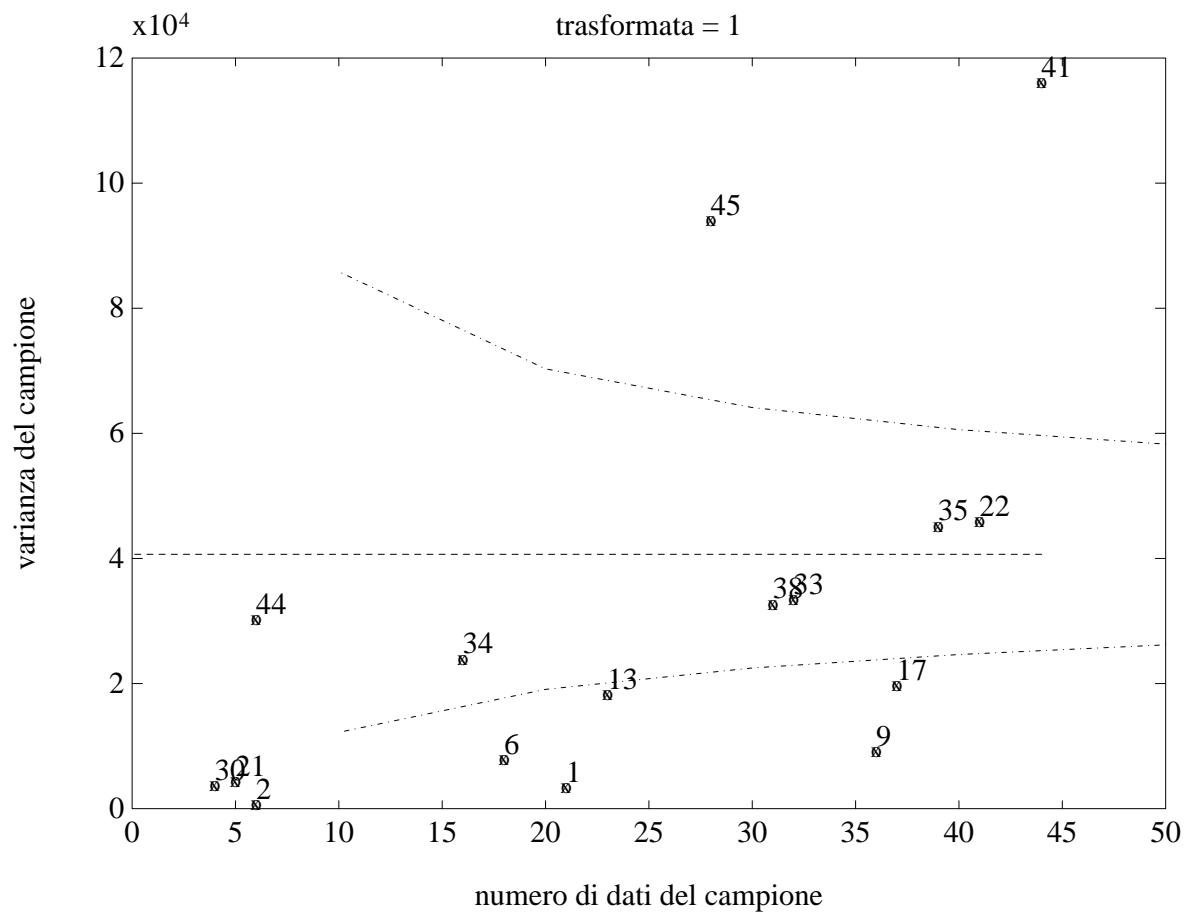


Figura 3. Bacini strumentati del SIMN. Test di costanza della varianza dei deflussi nell'anno idrologico. Dati non trasformati.

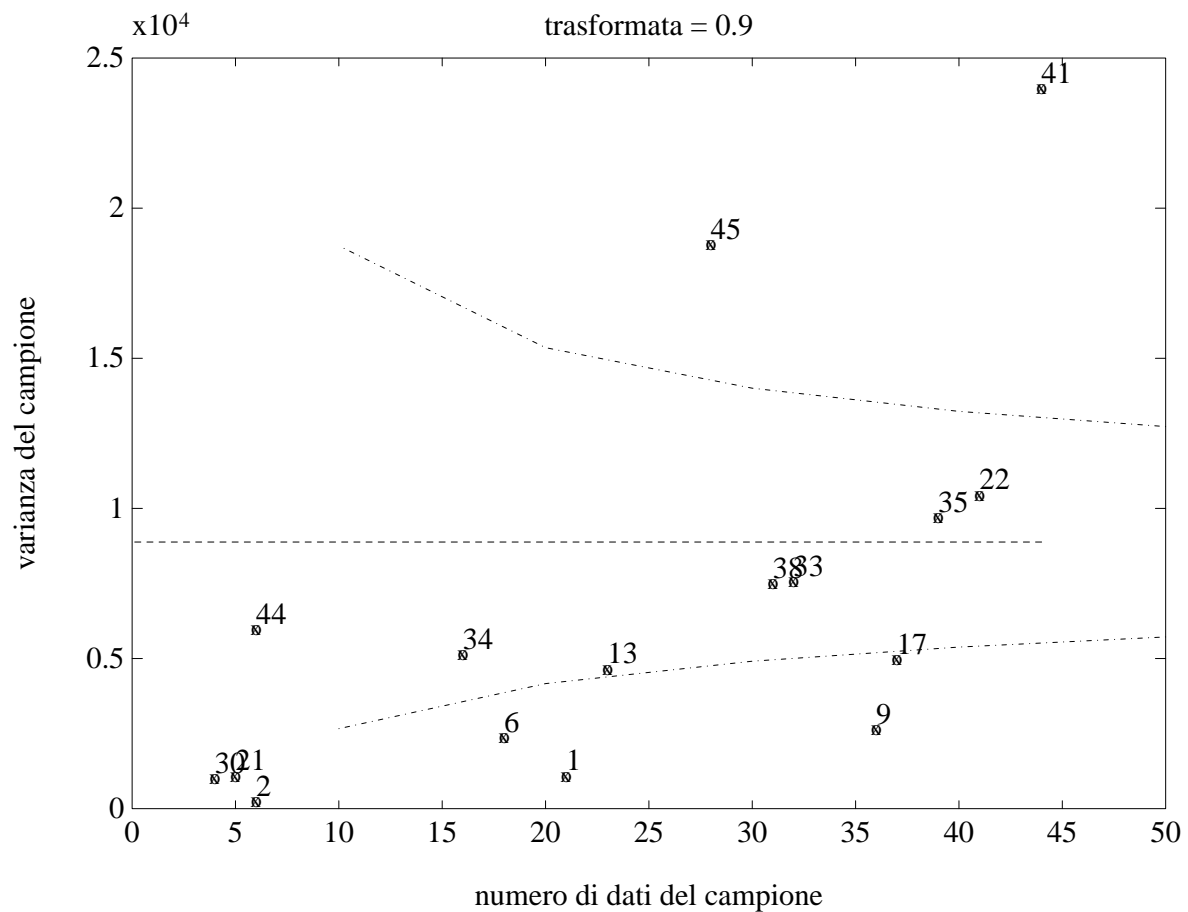


Figura 4. Bacini strumentati del SIMN. Test di costanza della varianza dei deflussi nell'anno idrologico. Dati trasformati con $\lambda=0.9$.

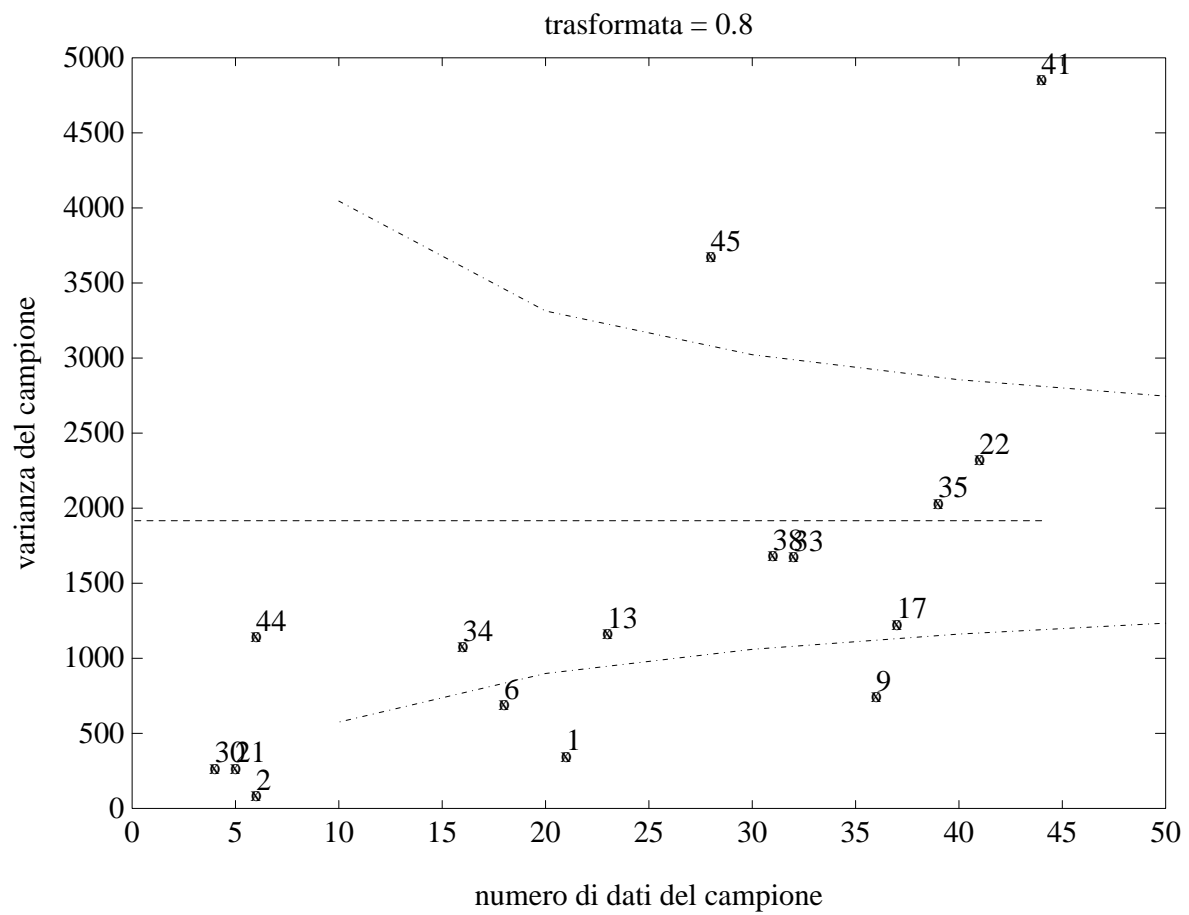


Figura 5. Bacini strumentati del SIMN. Test di costanza della varianza dei deflussi nell'anno idrologico. Dati trasformati con $\lambda=0.8$.

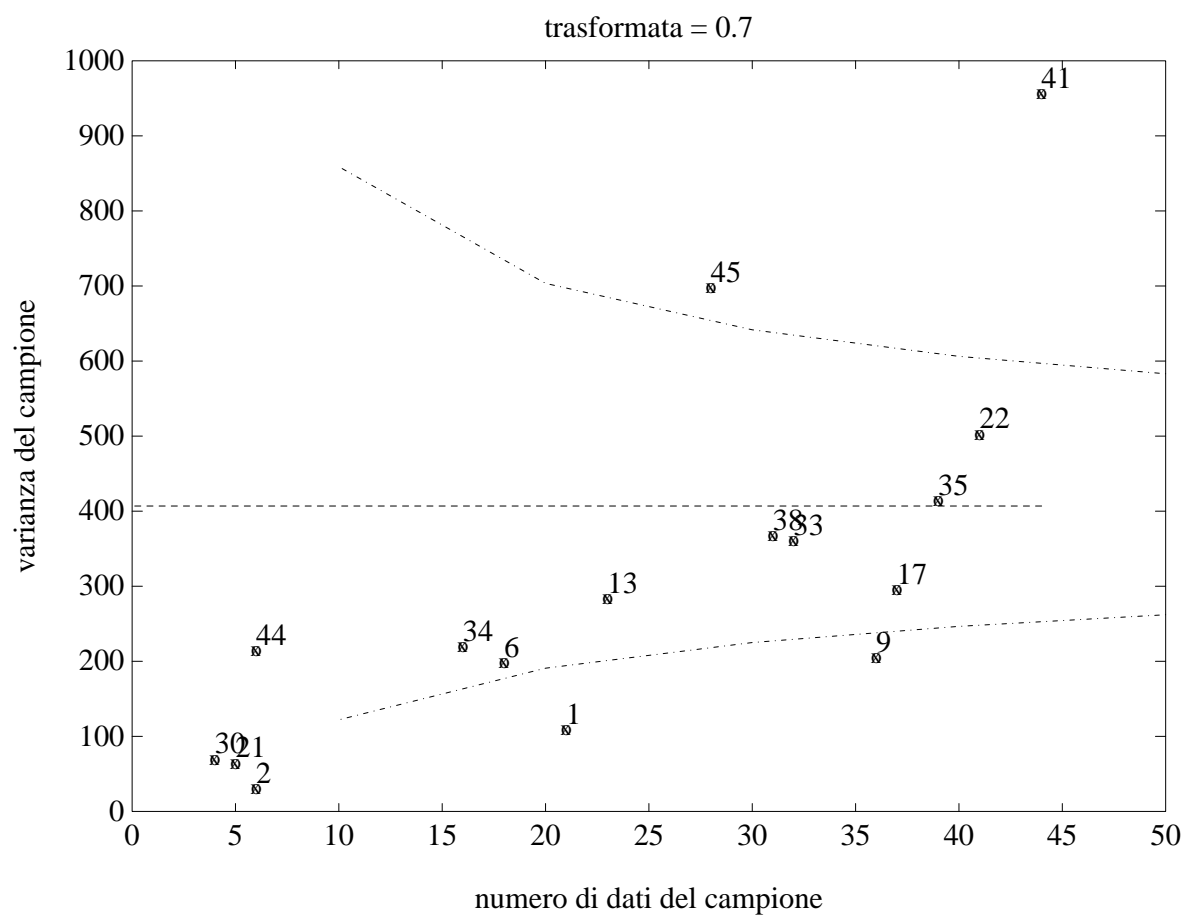


Figura 6. Bacini strumentati del SIMN. Test di costanza della varianza dei deflussi nell'anno idrologico. Dati trasformati con $\lambda=0.7$.

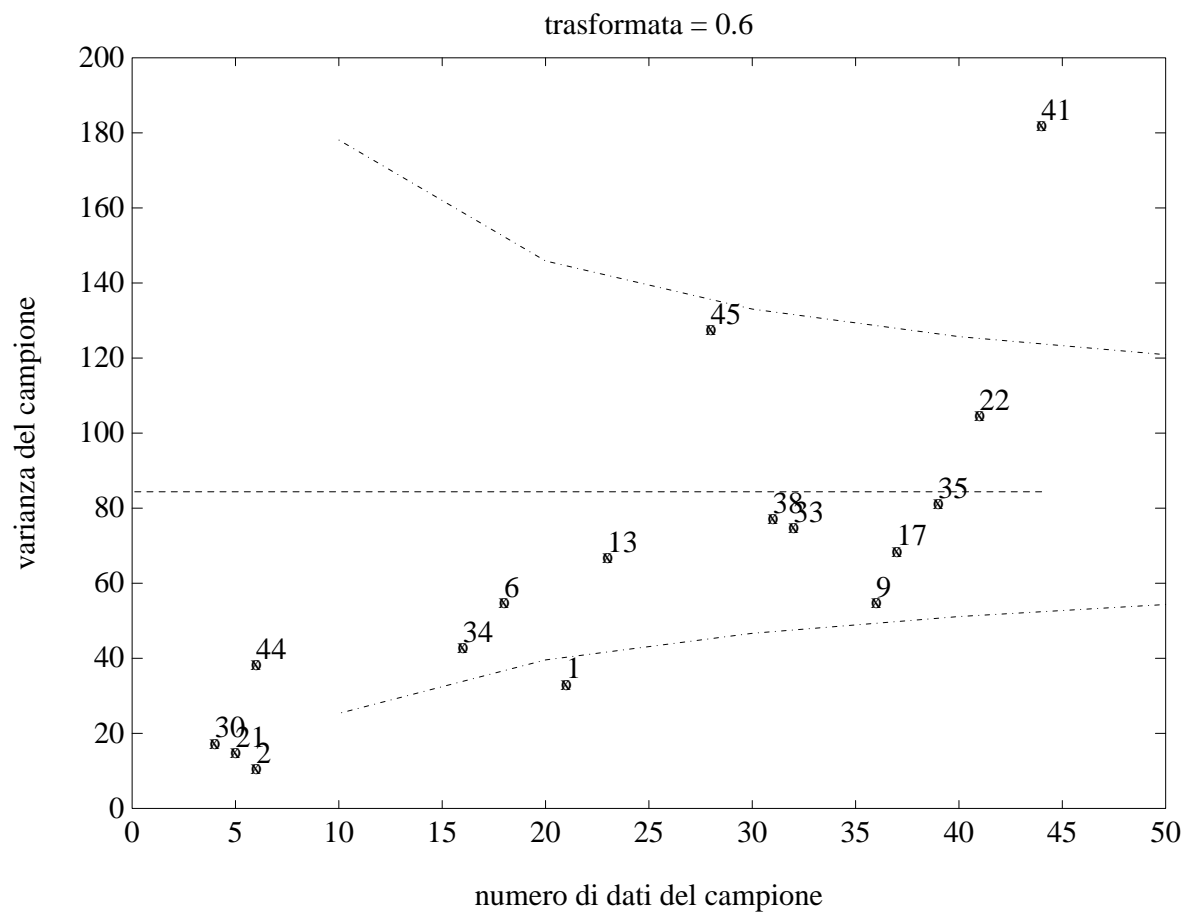


Figura 7. Bacini strumentati del SIMN. Test di costanza della varianza dei deflussi nell'anno idrologico. Dati trasformati con $\lambda=0.6$.

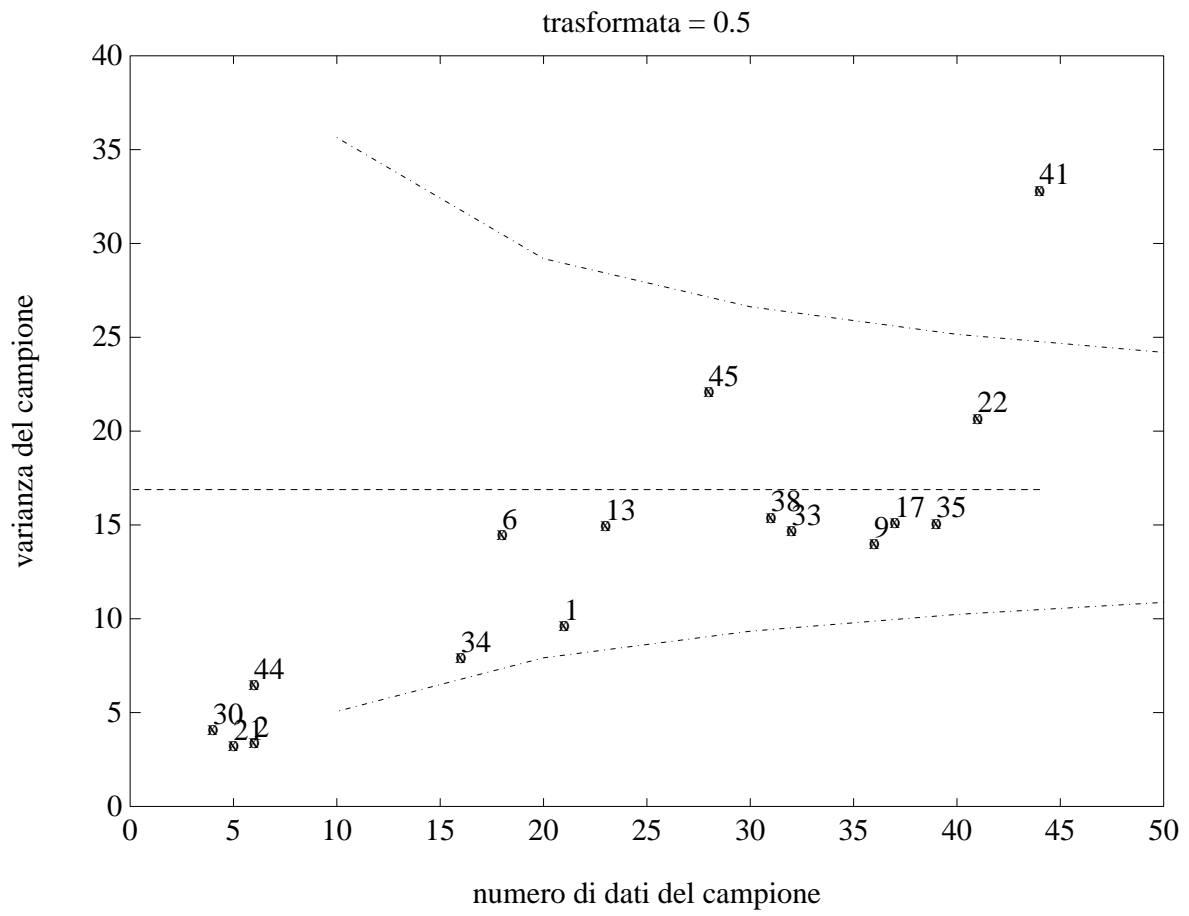


Figura 8. Bacini strumentati del SIMN. Test di costanza della varianza dei deflussi nell'anno idrologico. Dati trasformati con $\lambda=0.5$.

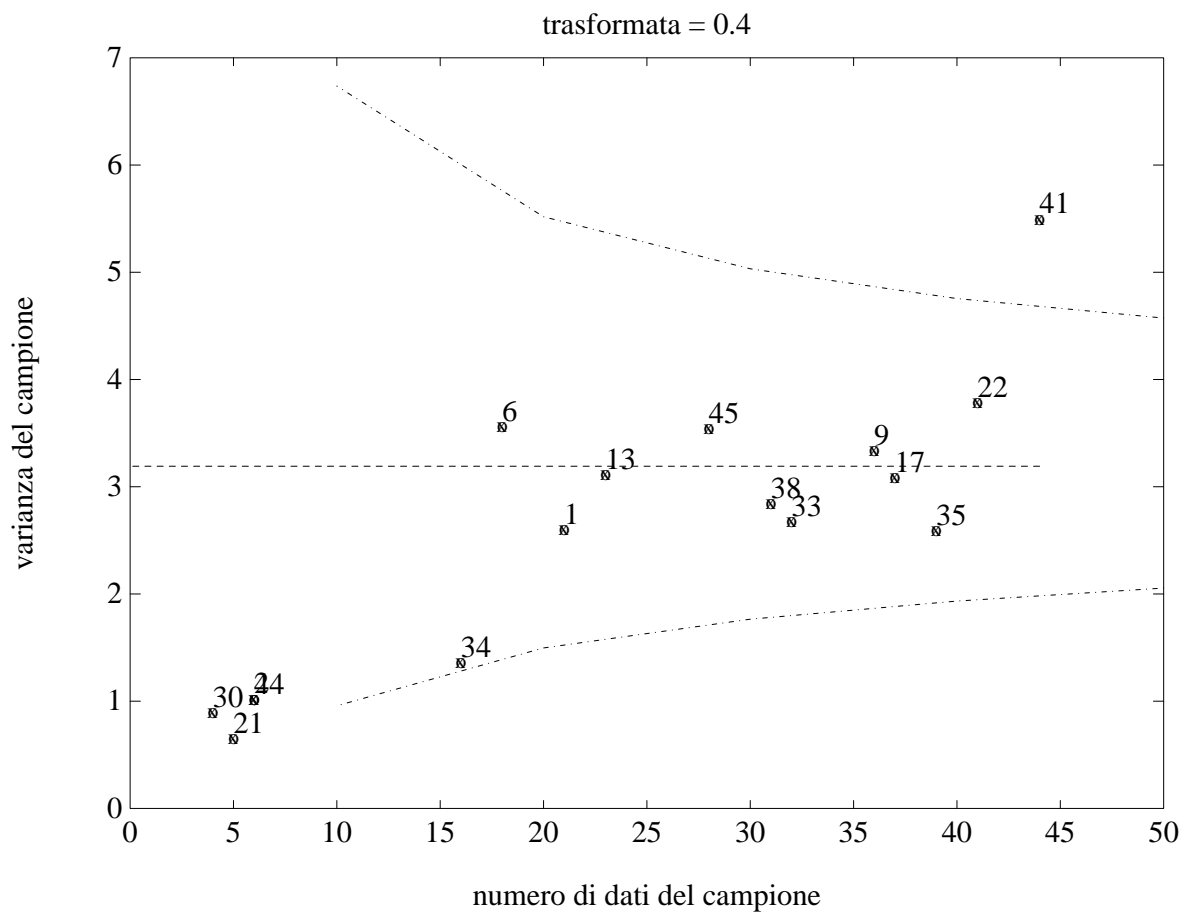


Figura 9. Bacini strumentati del SIMN. Test di costanza della varianza dei deflussi nell'anno idrologico. Dati trasformati con $\lambda=0.4$.

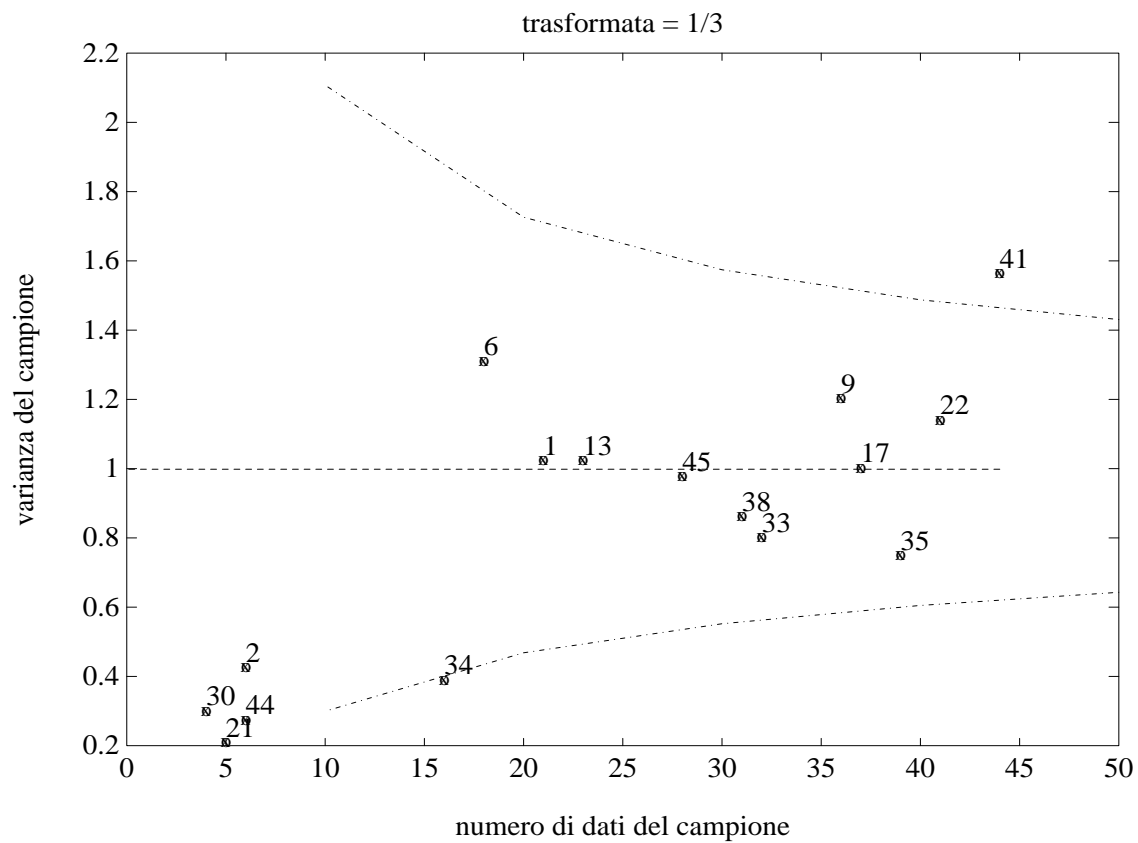


Figura 10. Bacini strumentati del SIMN. Test di costanza della varianza dei deflussi nell'anno idrologico. Dati trasformati con $\lambda=1/3$.

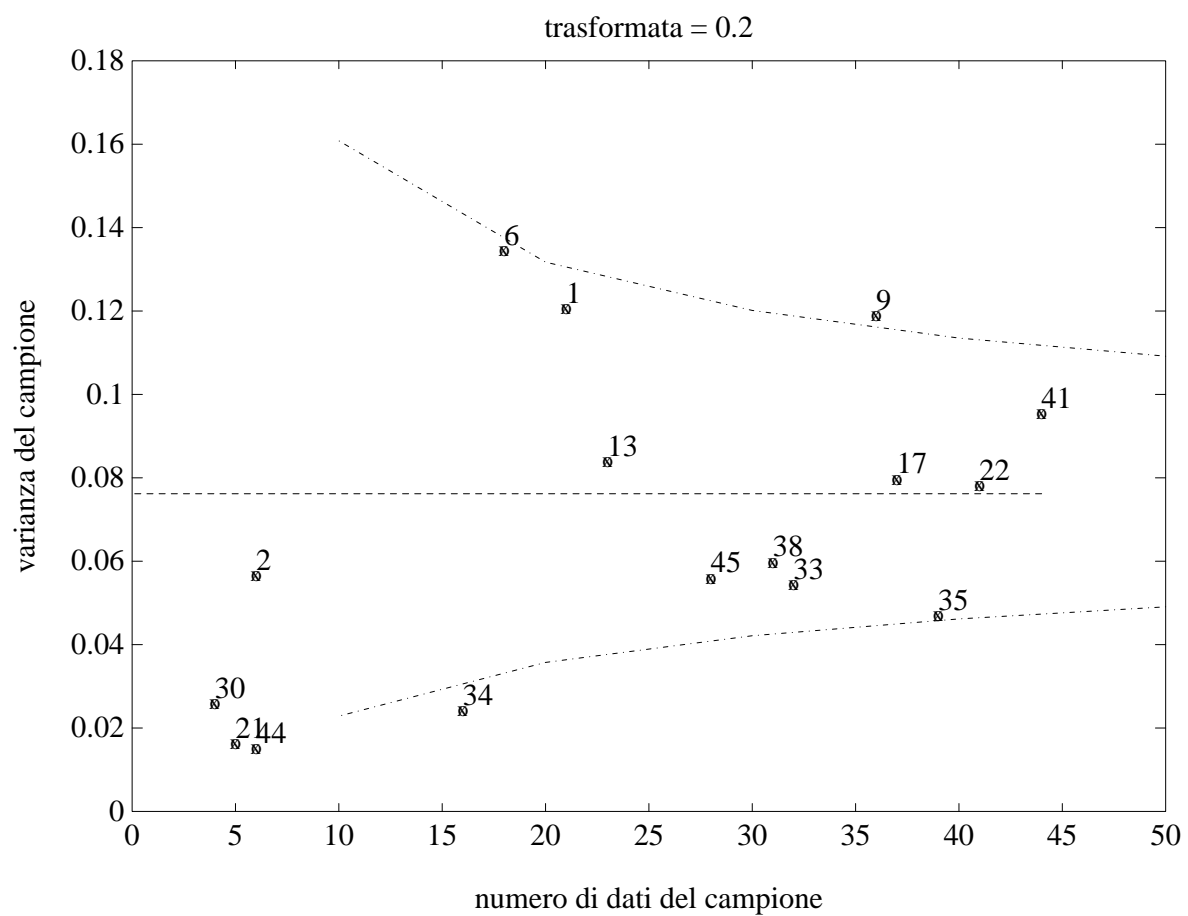


Figura 11. Bacini strumentati del SIMN. Test di costanza della varianza dei deflussi nell'anno idrologico. Dati trasformati con $\lambda=0.2$.

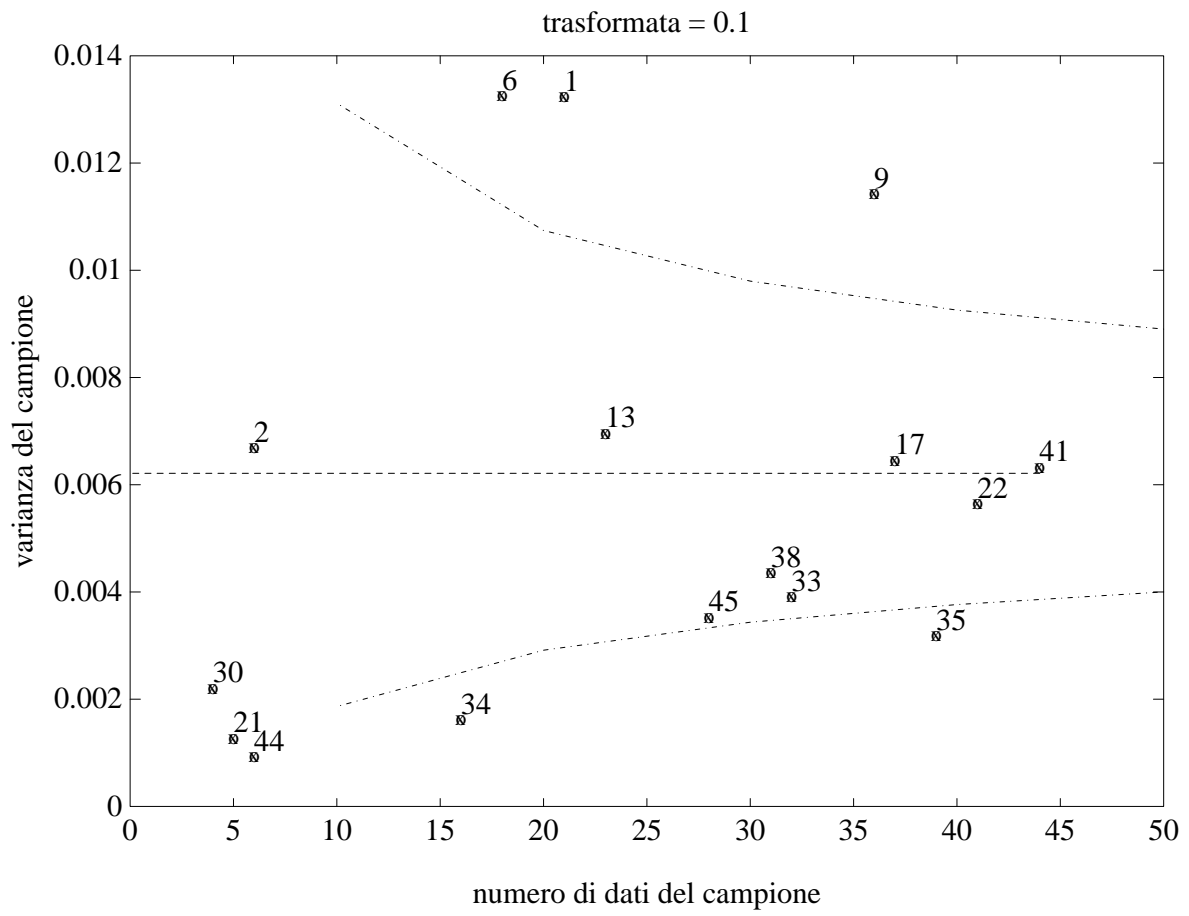


Figura 12. Bacini strumentati del SIMN. Test di costanza della varianza dei deflussi nell'anno idrologico. Dati trasformati con $\lambda=0.1$.

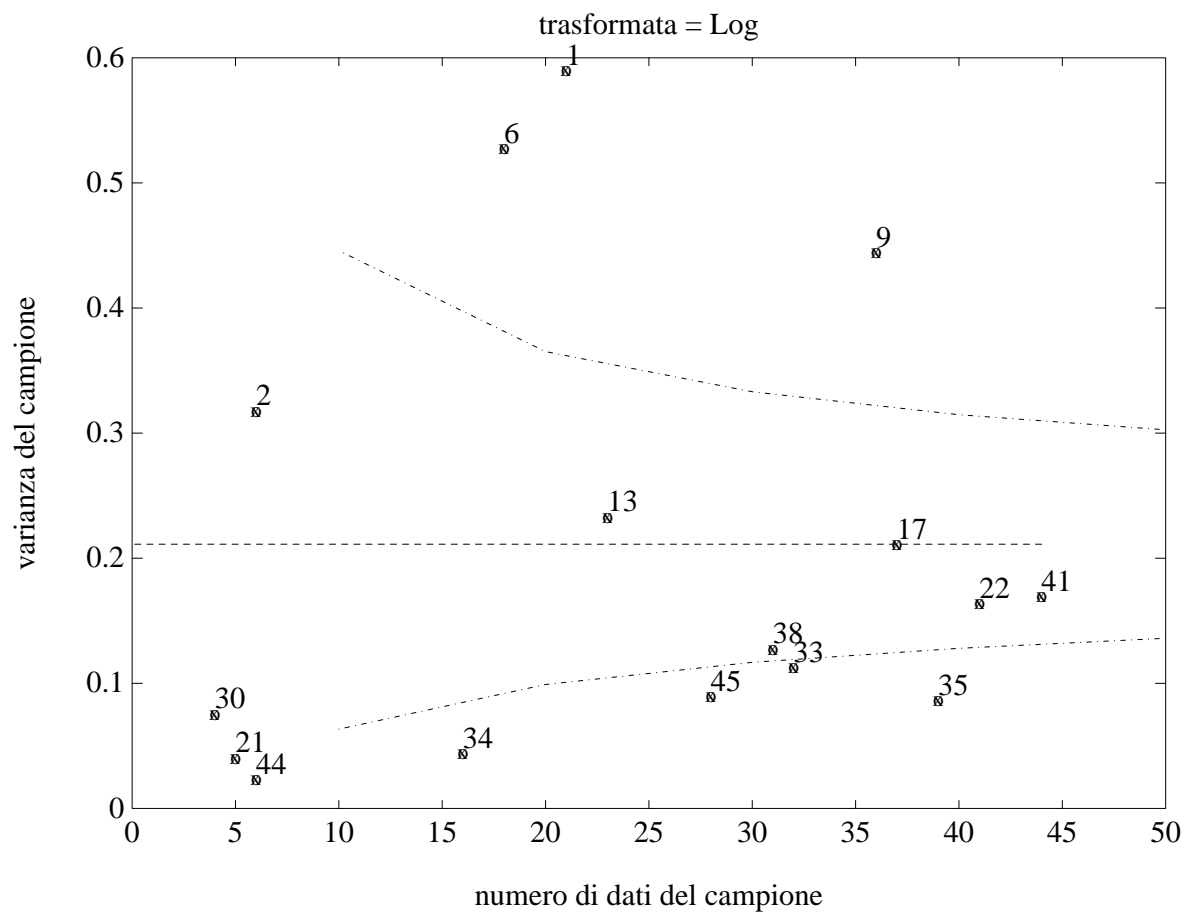


Figura 13. Bacini strumentati del SIMN. Test di costanza della varianza dei deflussi nell'anno idrologico. Dati trasformati con il logaritmo.

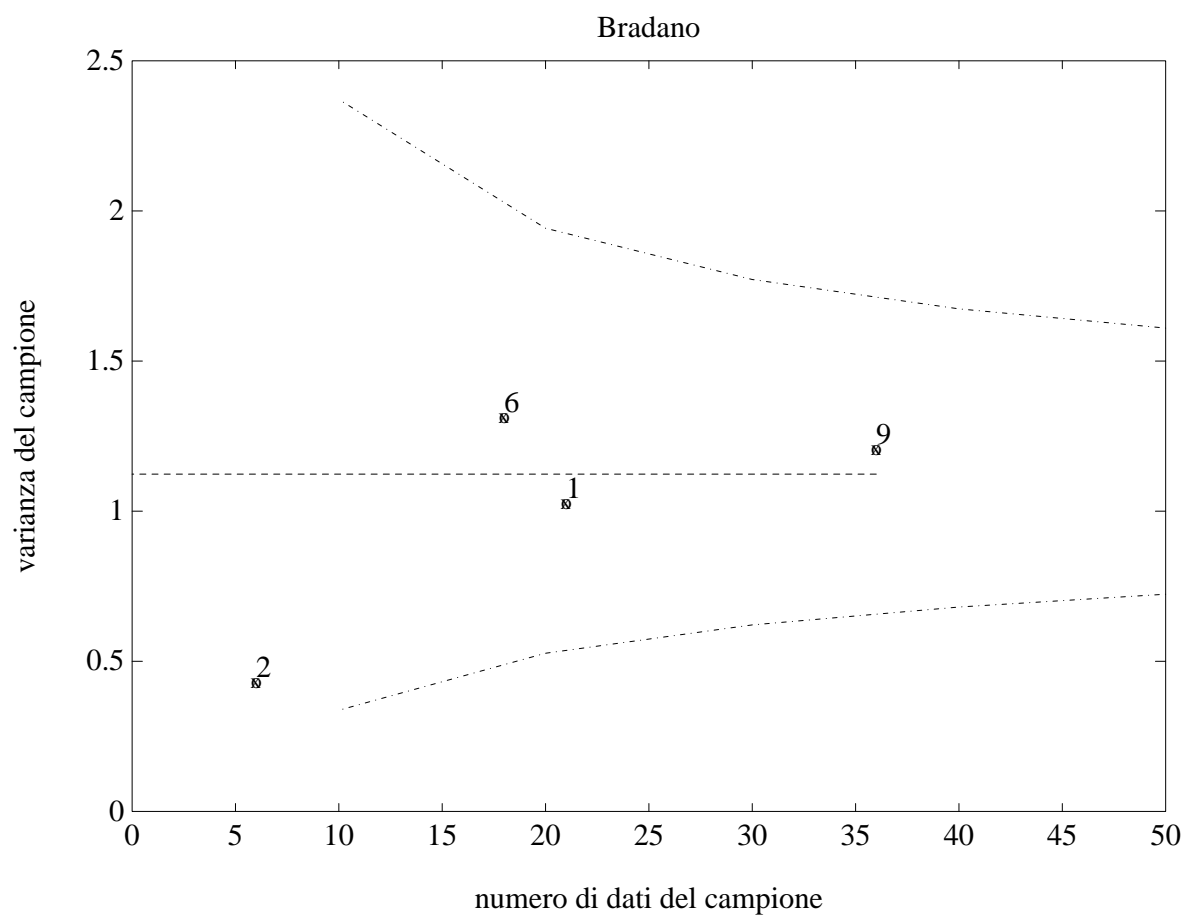


Figura 14. Bacini strumentati del SIMN. - Bacino del Bradano - Test di costanza della varianza delle radici cubiche dei deflussi nell'anno idrologico .

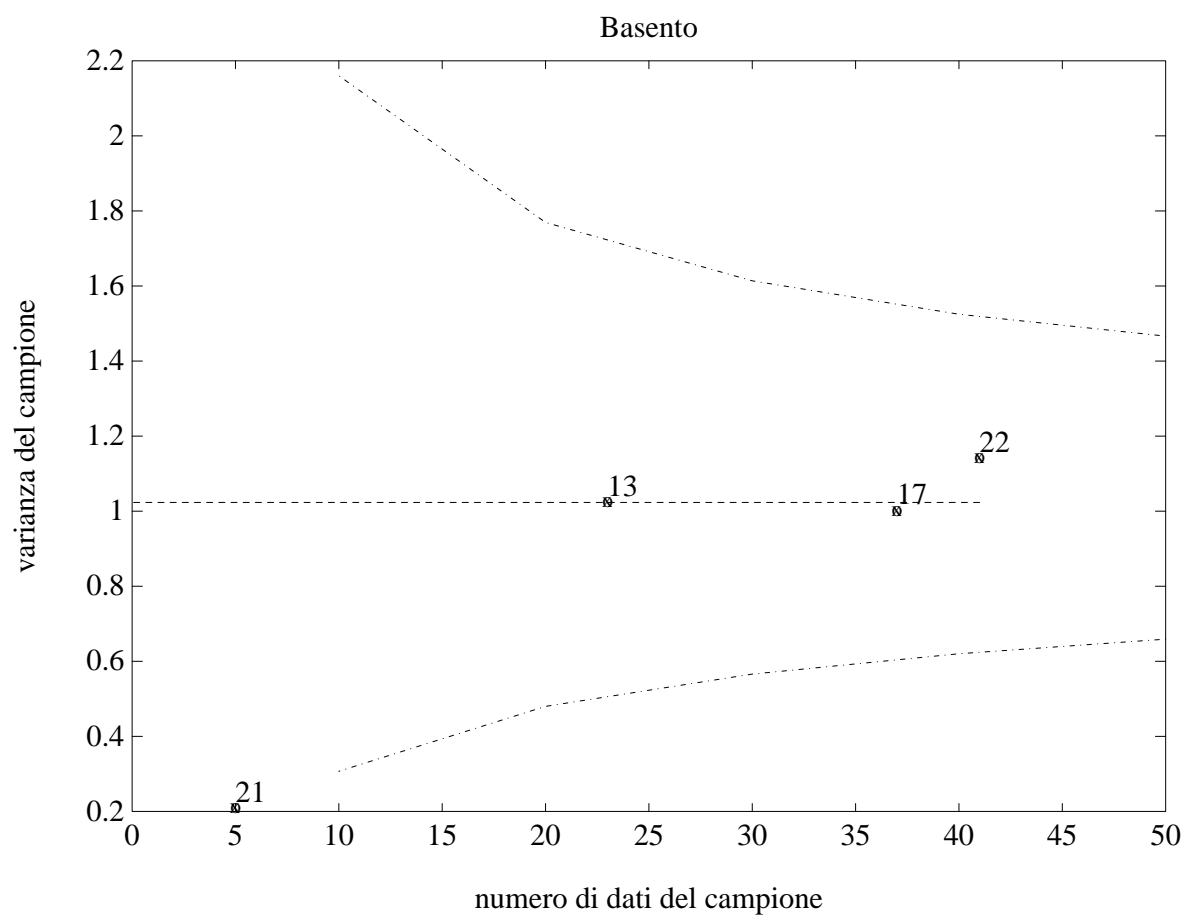


Figura 15. Bacini strumentati del SIMN. - Bacino del Basento - Test di costanza della varianza delle radici cubiche dei deflussi nell'anno idrologico.

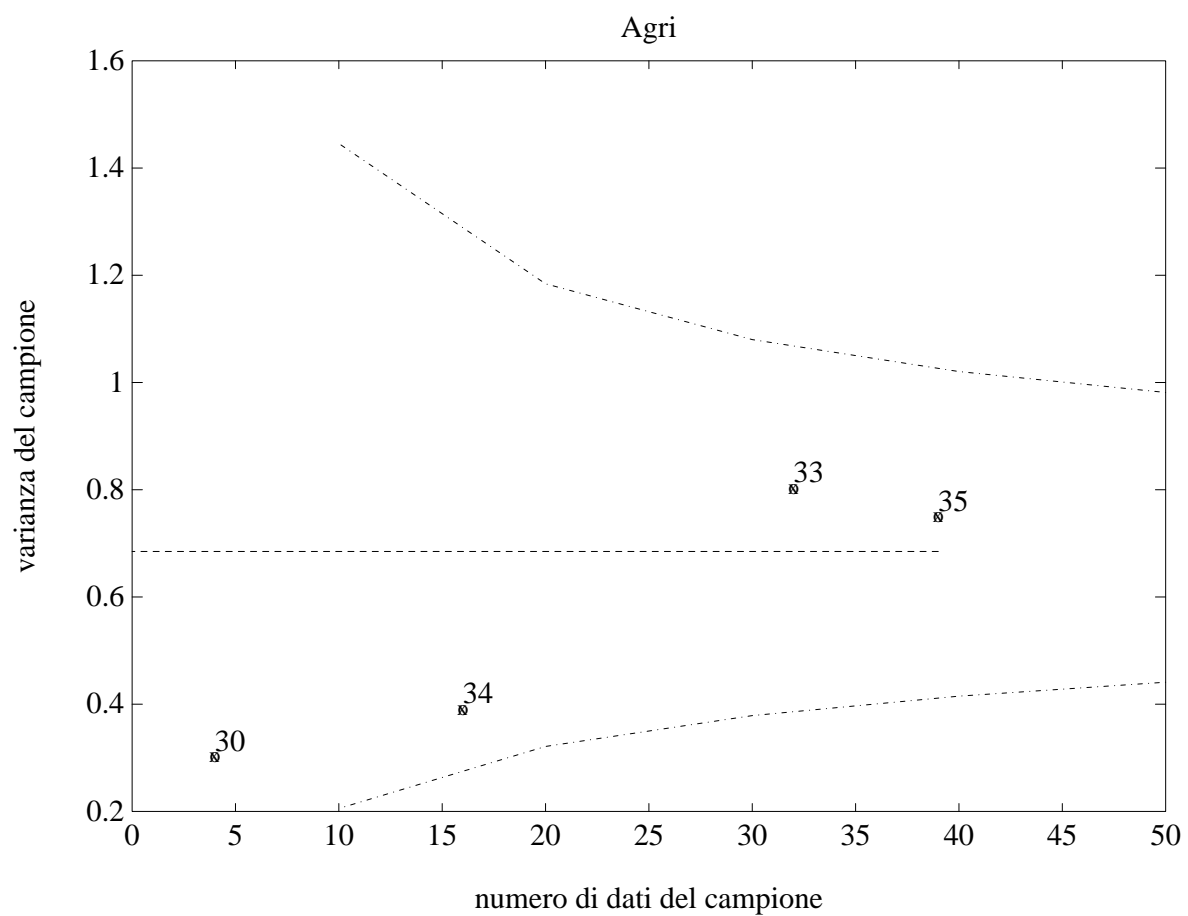


Figura 16. Bacini strumentati del SIMN. - Bacino dell'Agri - Test di costanza della varianza delle radici cubiche dei deflussi nell'anno idrologico.

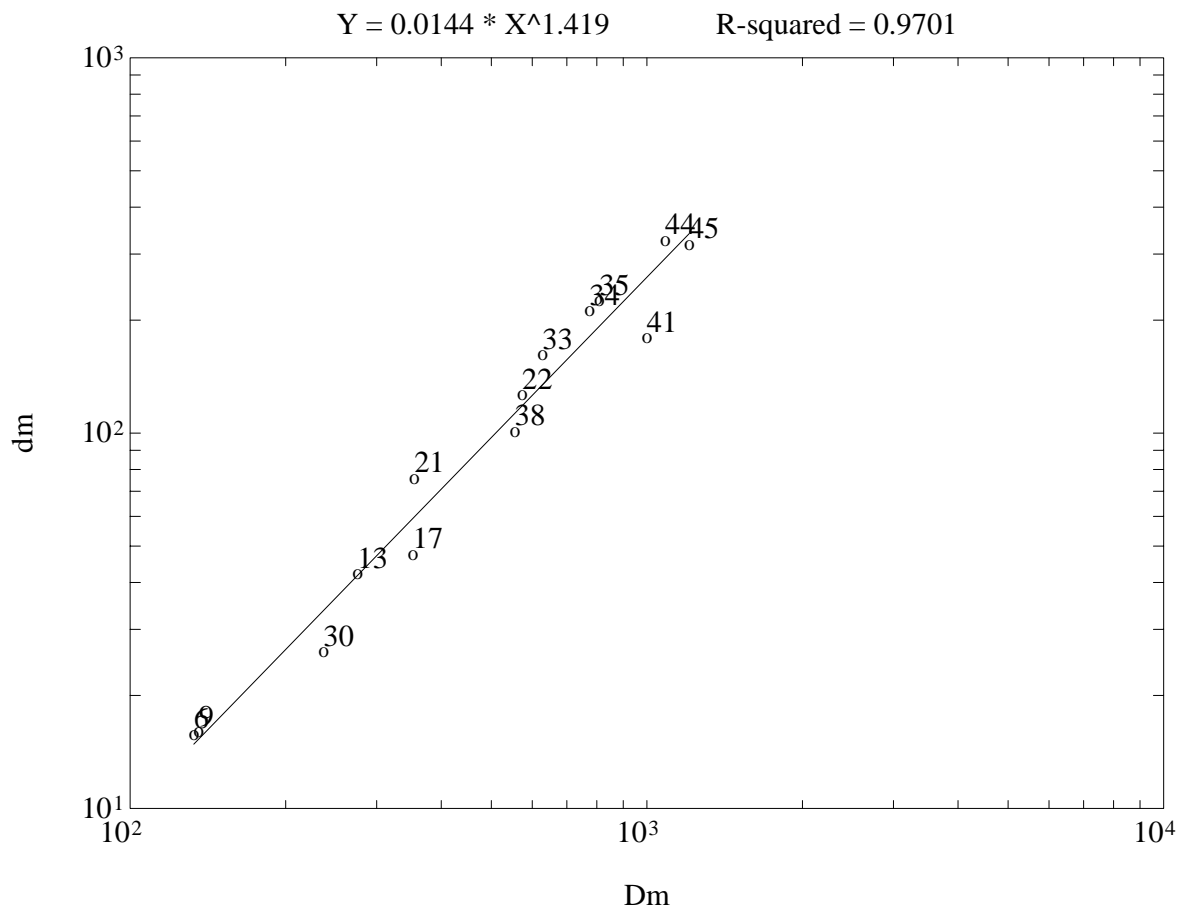


Figura 17. Legge di regressione tra d_m e D_m relativa ai dati di Tab. 9, con l'esclusione delle sezioni 1 e 2. I numeri in corrispondenza dei punti sono i codici delle stazioni (tab 11).

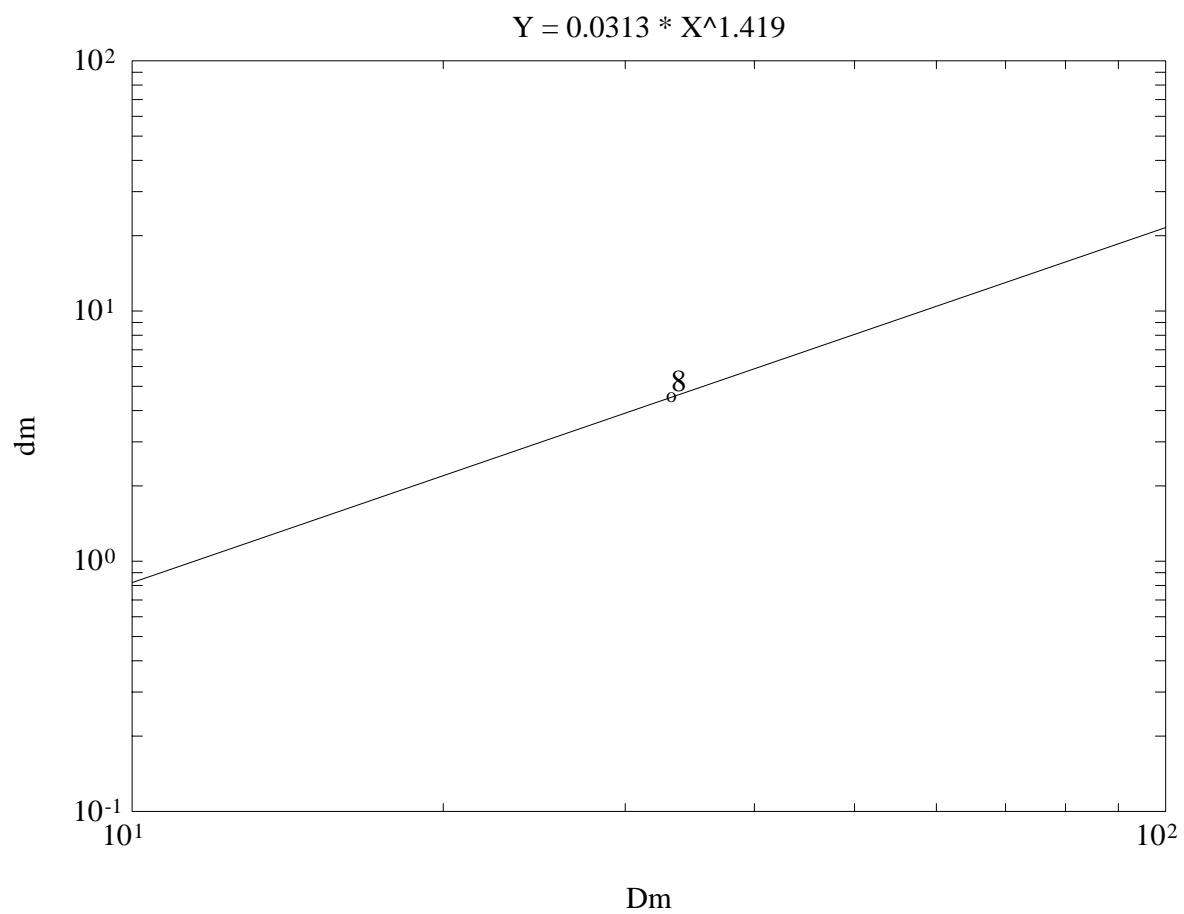


Figura 18. Relazione tra d_m e D_m valida per i bacini in sinistra Bradano. Il punto riportato è relativo alla sezione posta sul Basentello.

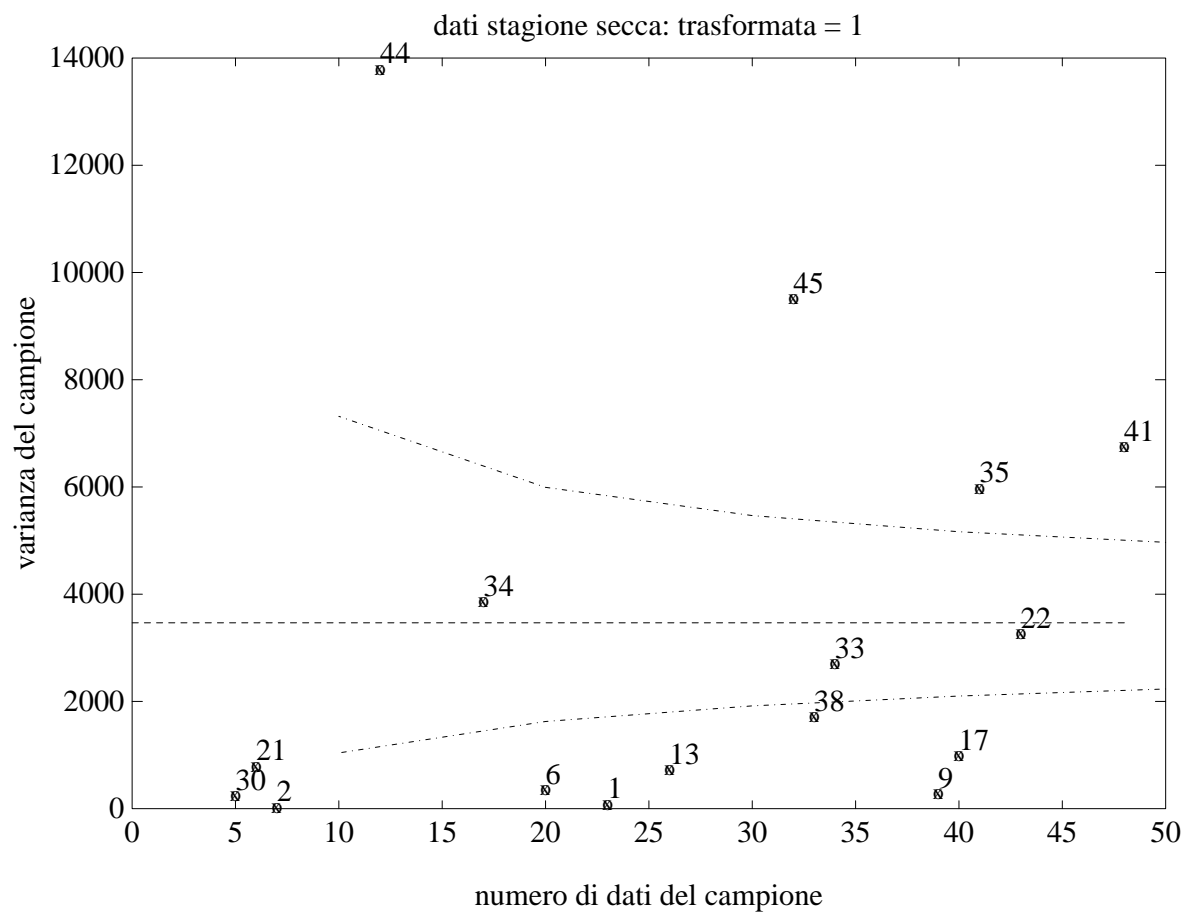


Figura 19. Bacini strumentati del SIMN. Test di costanza della varianza dei deflussi nella stagione secca (maggio-ottobre). Dati non trasformati.

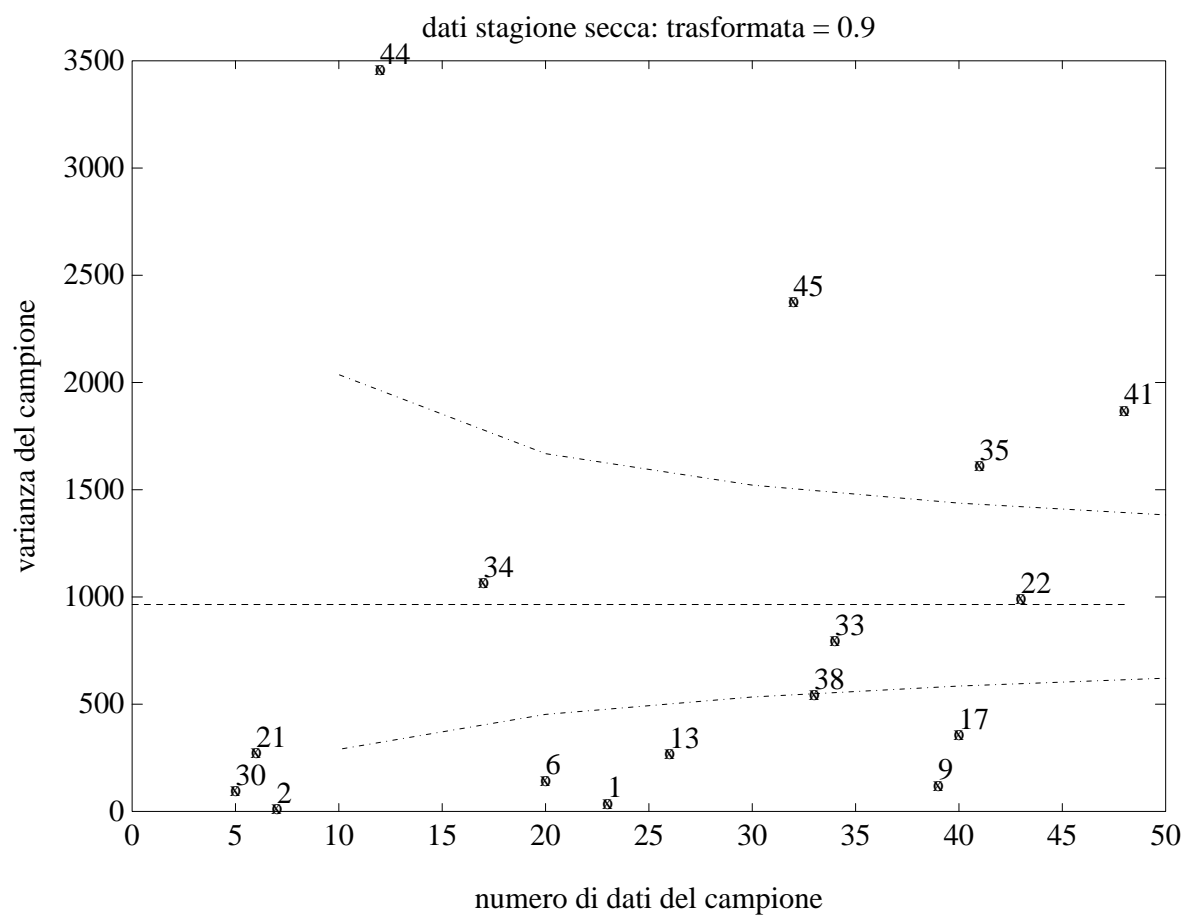


Figura 20. Bacini strumentati del SIMN. Test di costanza della varianza dei deflussi nella stagione secca (maggio-ottobre). Dati trasformati con $\lambda=0.9$.

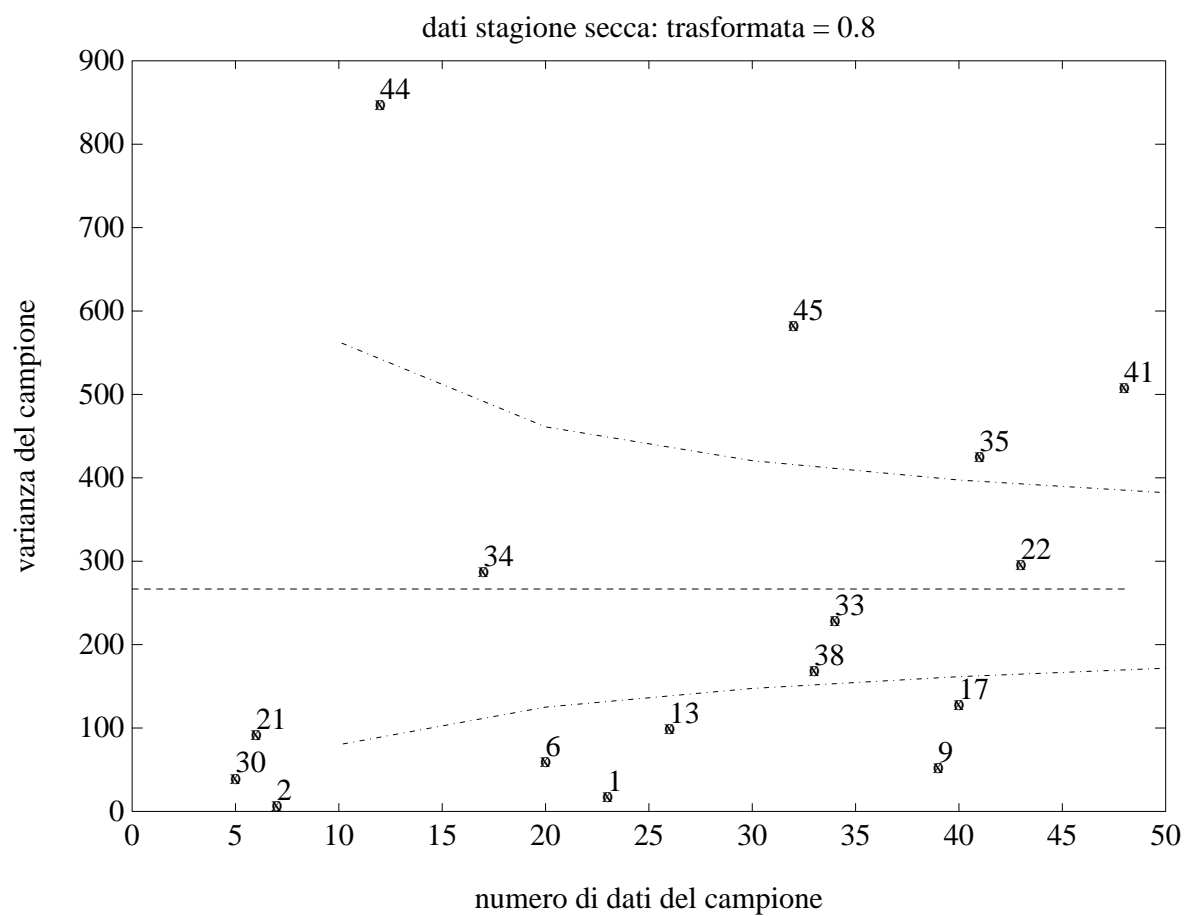


Figura 21. Bacini strumentati del SIMN. Test di costanza della varianza dei deflussi nella stagione secca (maggio-ottobre). Dati trasformati con $\lambda=0.8$.

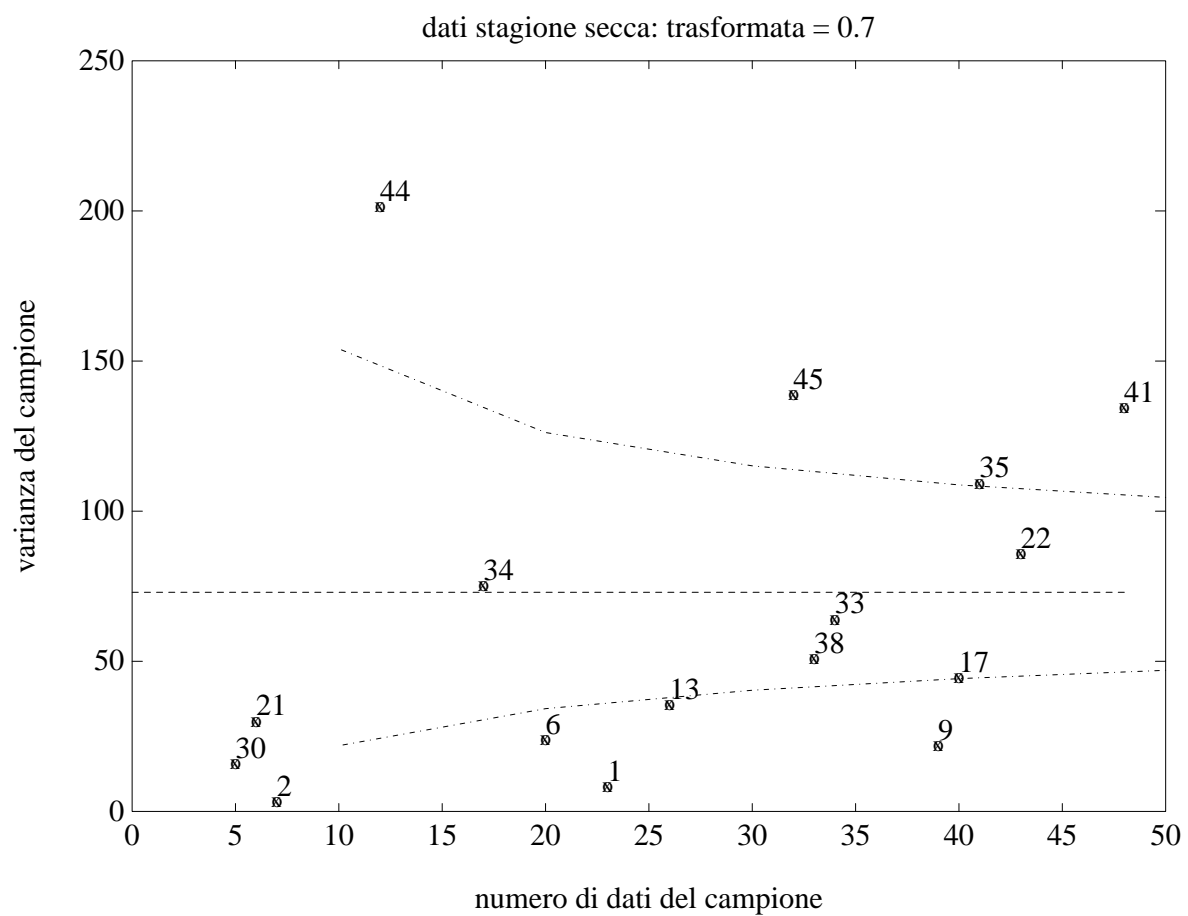


Figura 22. Bacini strumentati del SIMN. Test di costanza della varianza dei deflussi nella stagione secca (maggio-ottobre). Dati trasformati con $\lambda=0.7$.

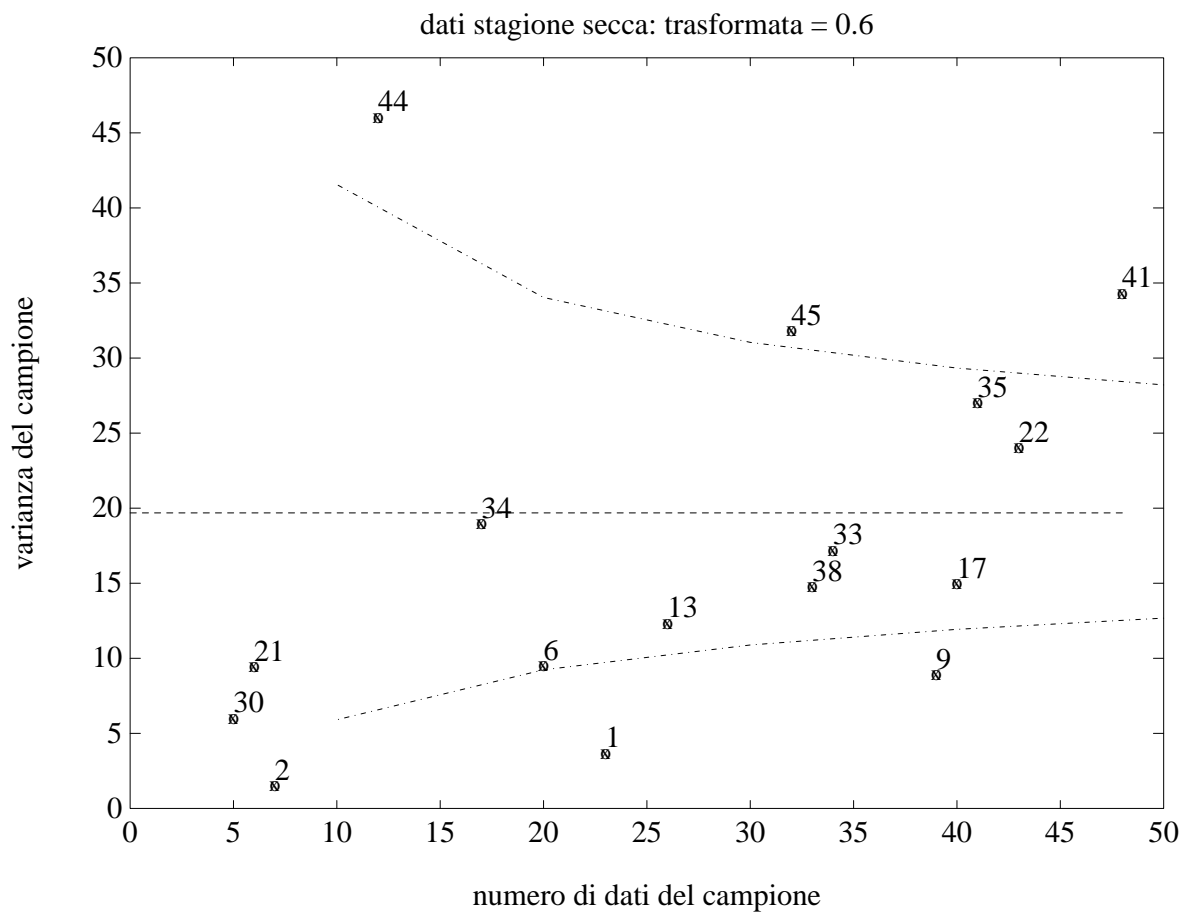


Figura 23. Bacini strumentati del SIMN. Test di costanza della varianza dei deflussi nella stagione secca (maggio-ottobre). Dati trasformati con $\lambda=0.6$.

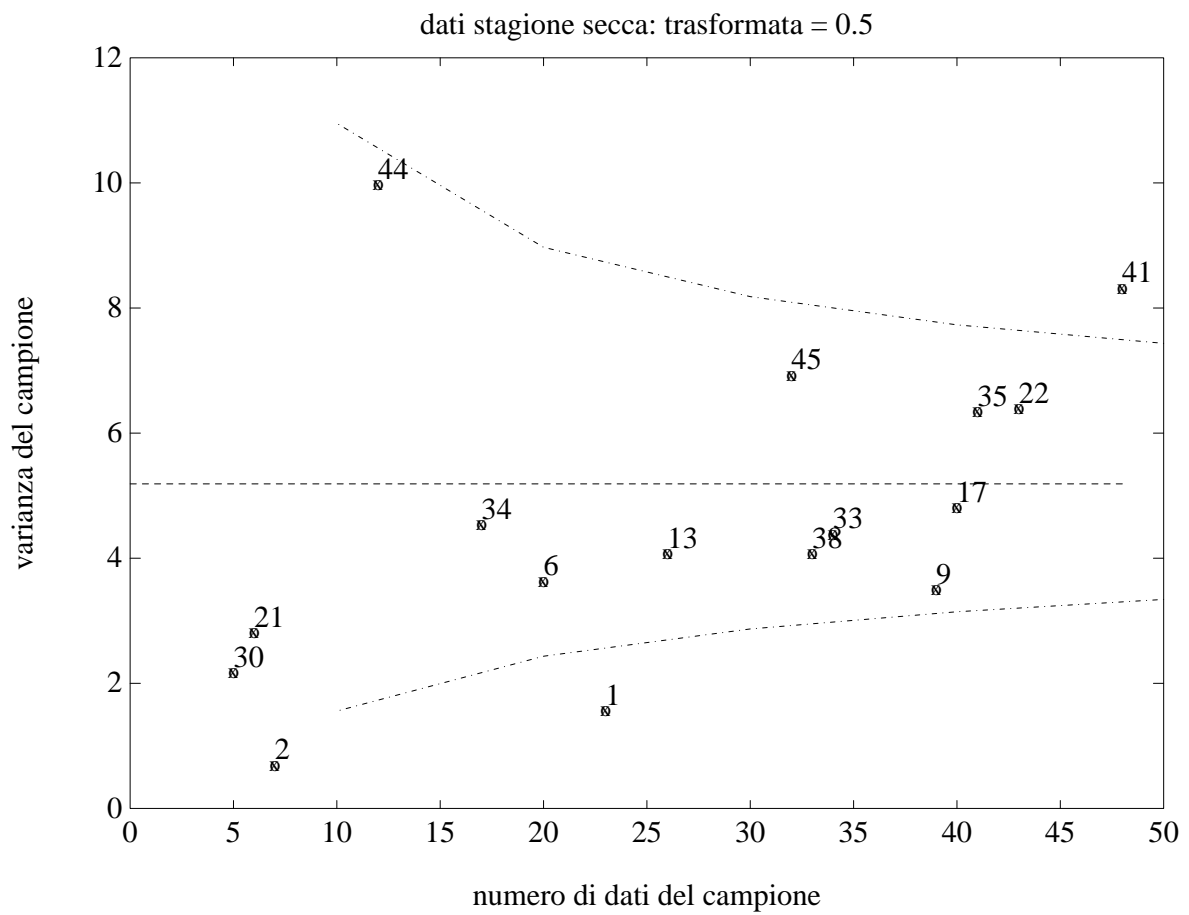


Figura 24. Bacini strumentati del SIMN. Test di costanza della varianza dei deflussi nella stagione secca (maggio-ottobre). Dati trasformati con $\lambda=0.5$.

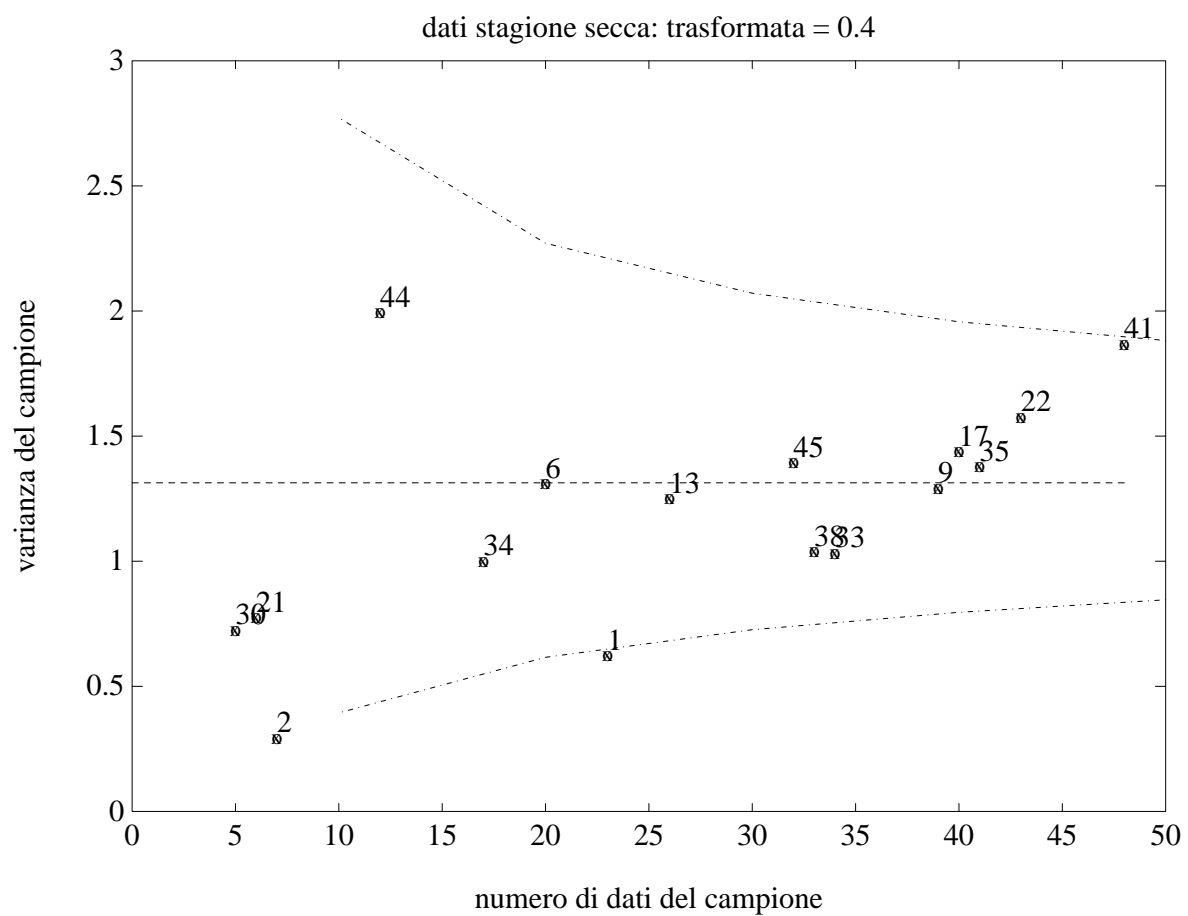


Figura 25. Bacini strumentati del SIMN. Test di costanza della varianza dei deflussi nella stagione secca (maggio-ottobre). Dati trasformati con $\lambda=0.4$.

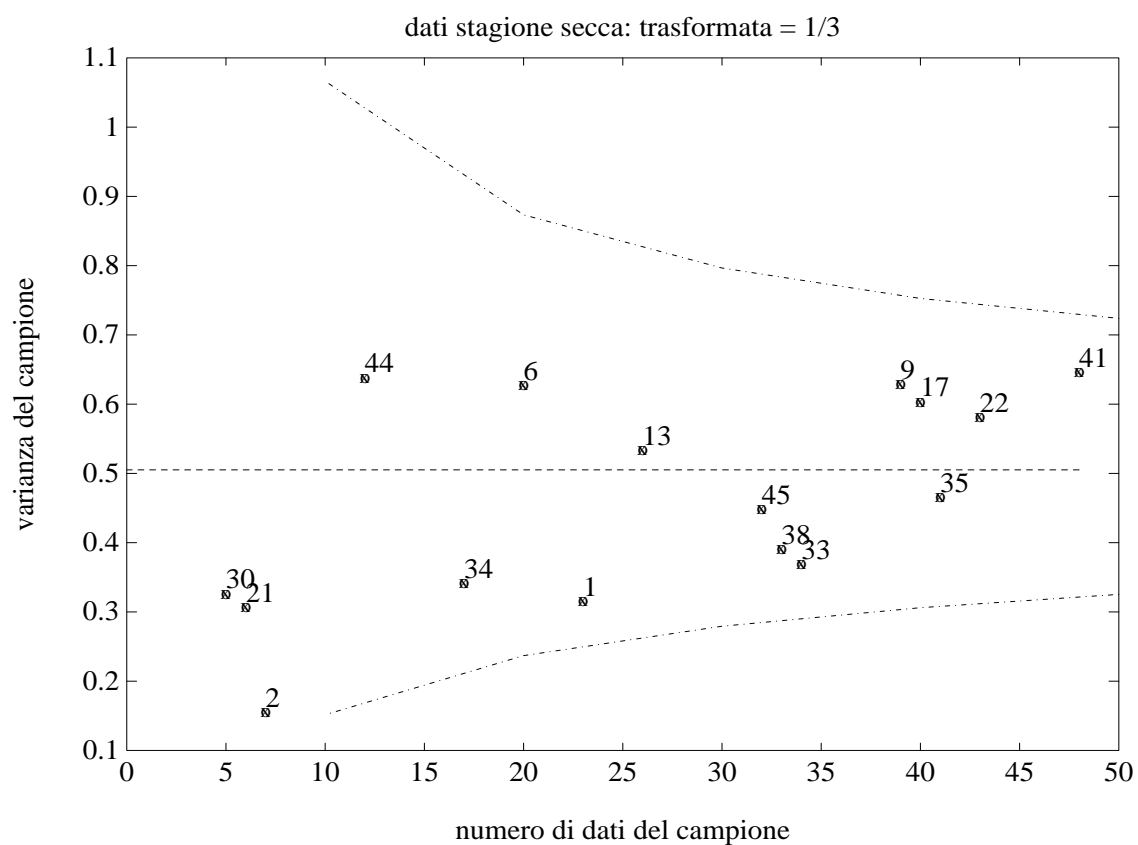


Figura 26. Bacini strumentati del SIMN. Test di costanza della varianza dei deflussi nella stagione secca (maggio-ottobre). Dati trasformati con $\lambda=1/3$.

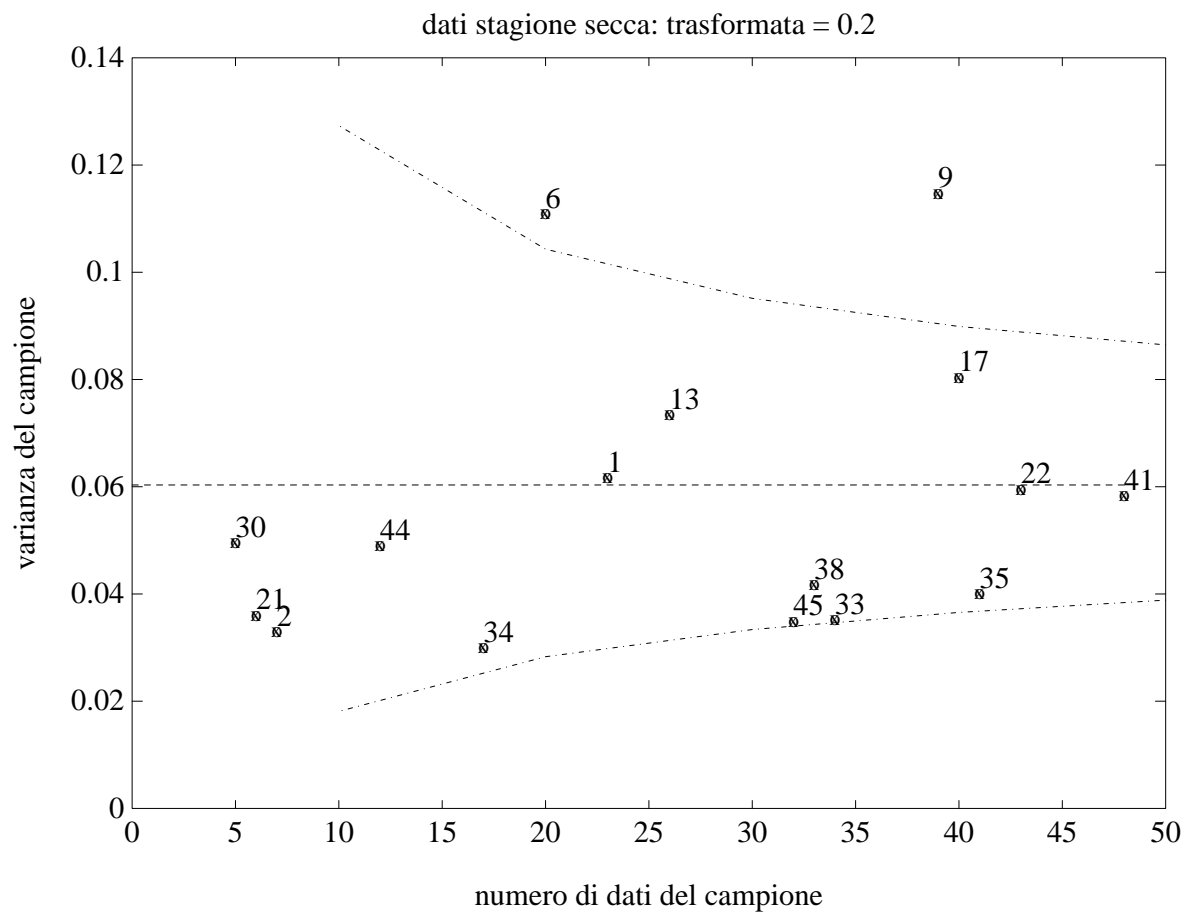


Figura 27. Bacini strumentati del SIMN. Test di costanza della varianza dei deflussi nella stagione secca (maggio-ottobre). Dati trasformati con $\lambda=0.2$.

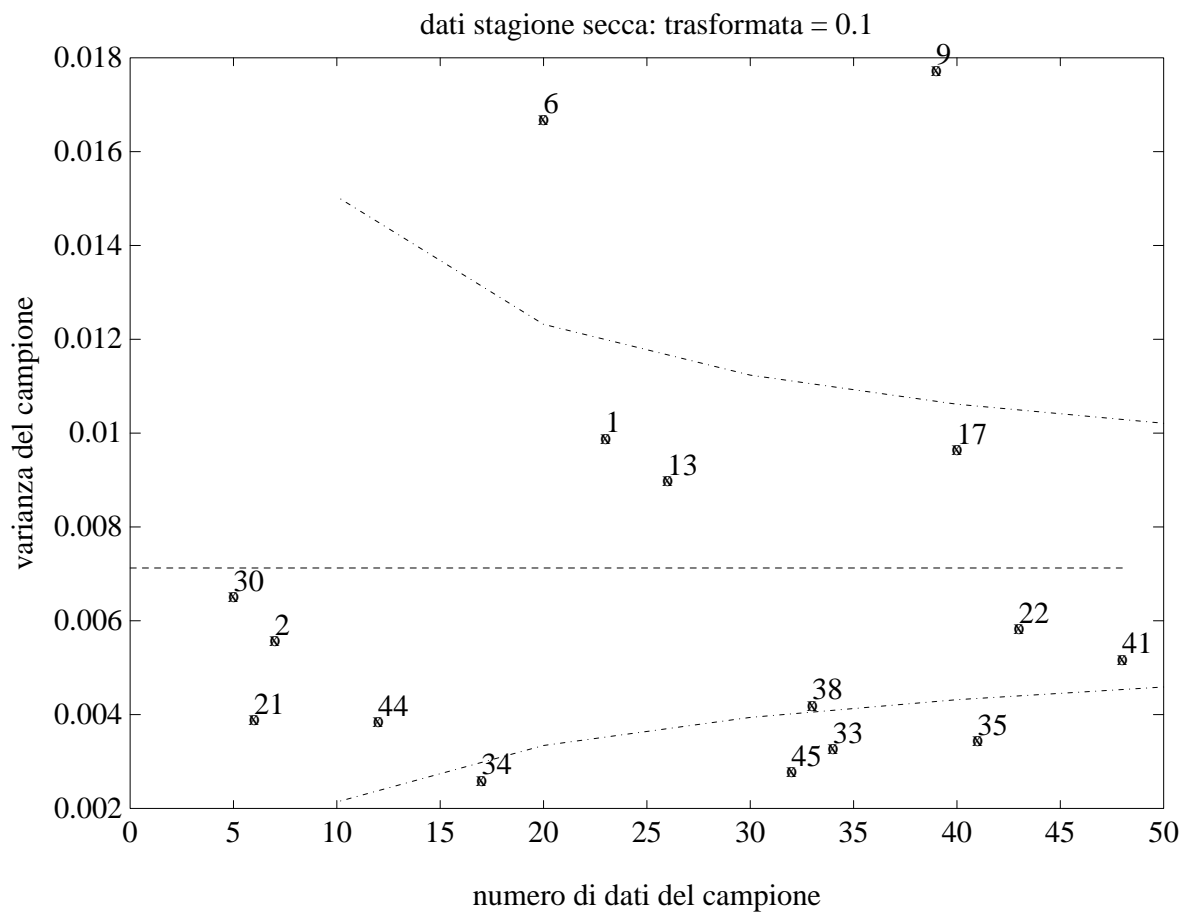


Figura 28. Bacini strumentati del SIMN. Test di costanza della varianza dei deflussi nella stagione secca (maggio-ottobre). Dati trasformati con $\lambda=0.1$.

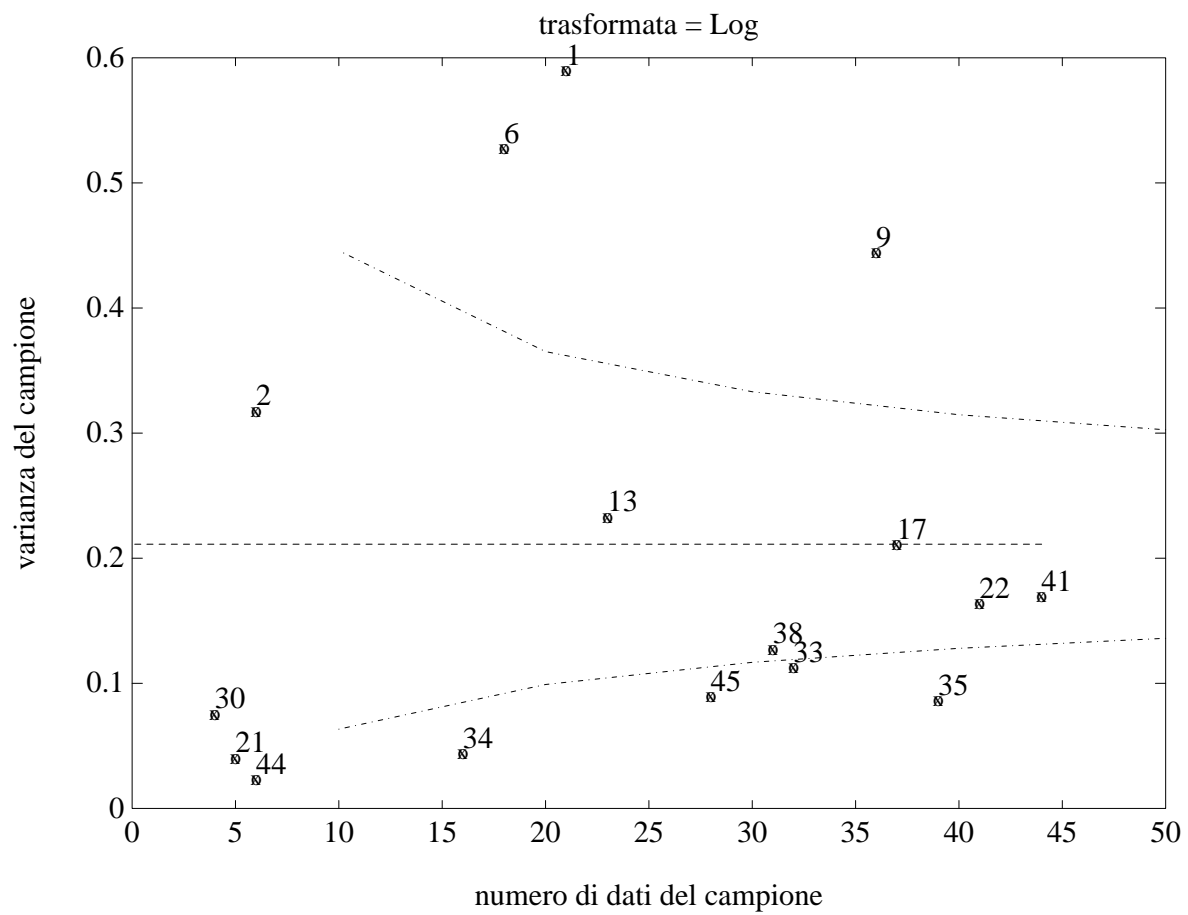


Figura 29. Bacini strumentati del SIMN. Test di costanza della varianza dei deflussi nella stagione secca (maggio-ottobre). Dati trasformati con il logaritmo.

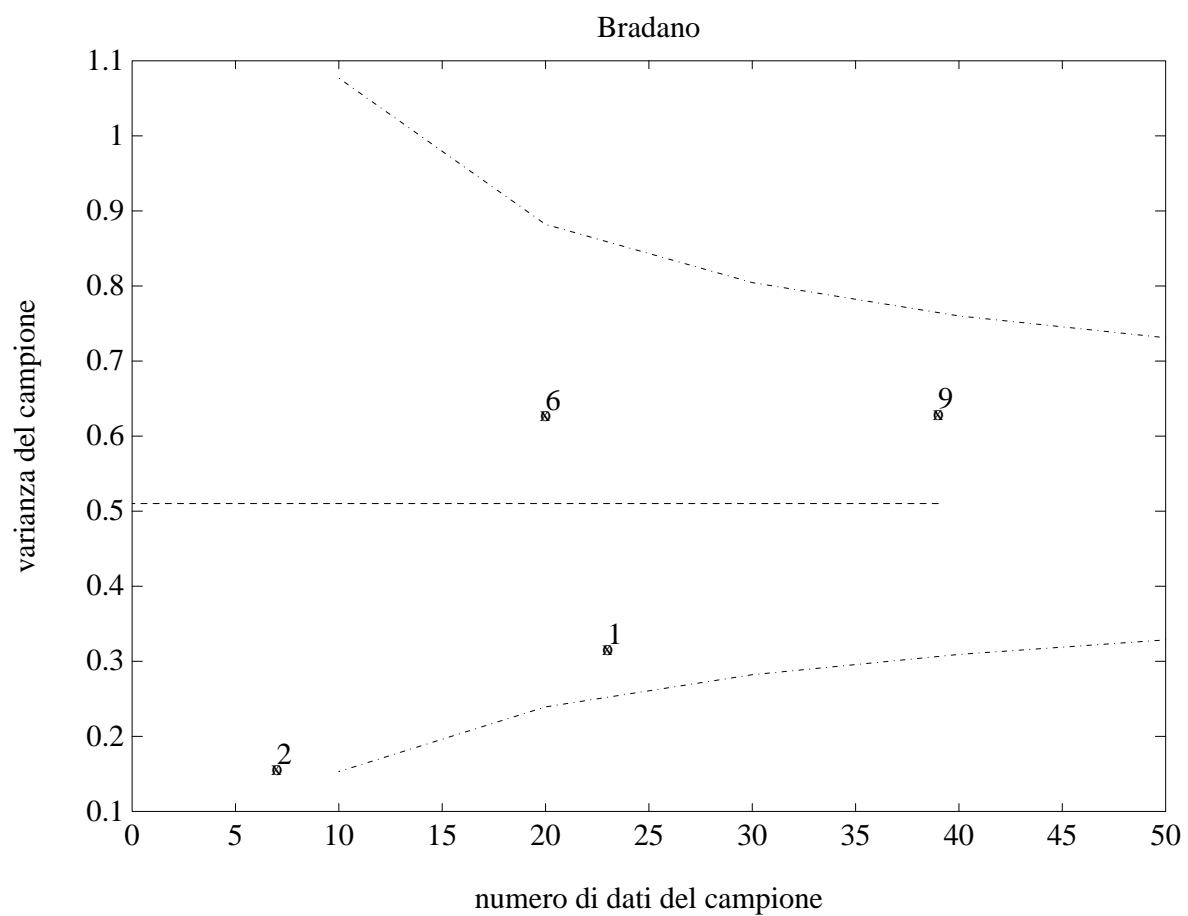


Figura 30. Bacini strumentati del SIMN. - Bacino del Bradano - Test di costanza della varianza delle radici cubiche dei deflussi nella stagione secca (maggio-ottobre).

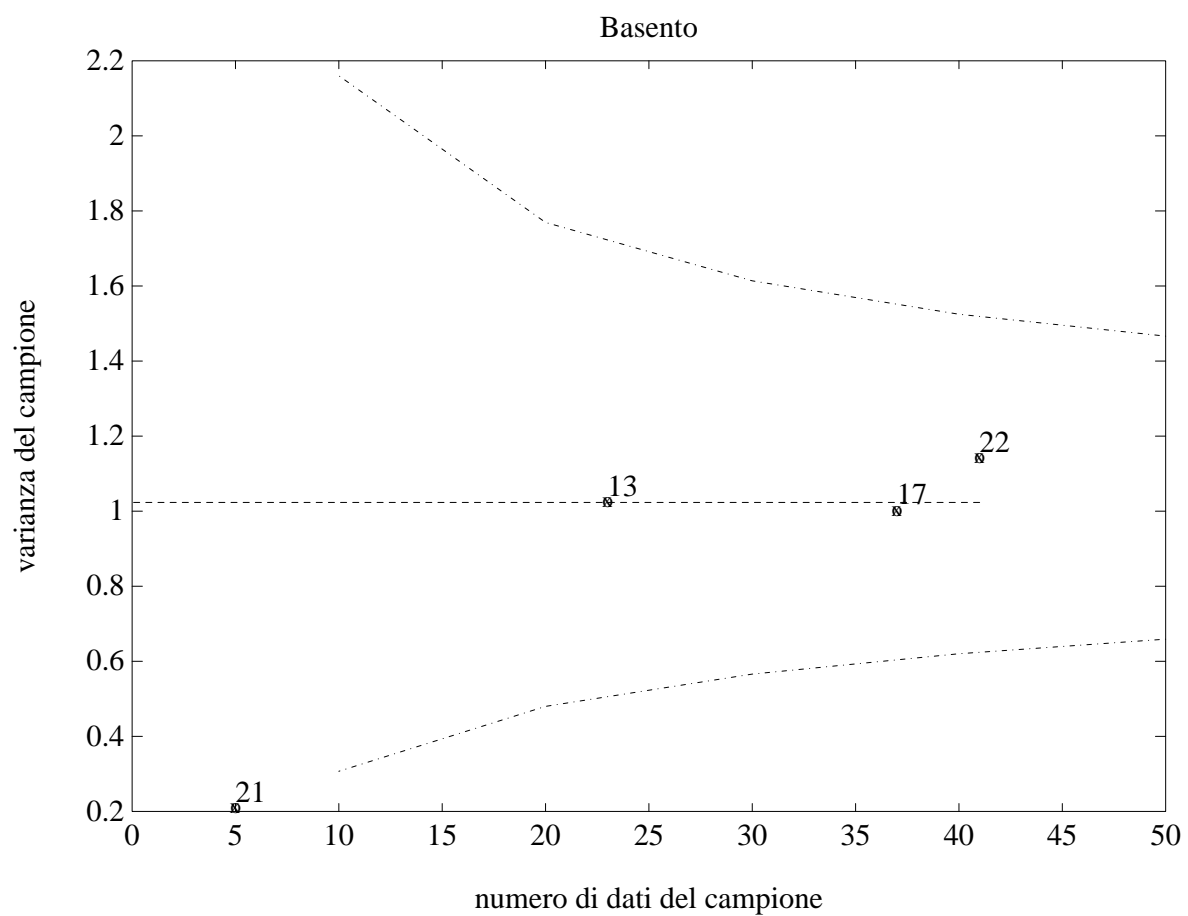


Figura 31. Bacini strumentati del SIMN. - Bacino del Basento - Test di costanza della varianza delle radici cubiche dei deflussi nella stagione secca (maggio-ottobre).

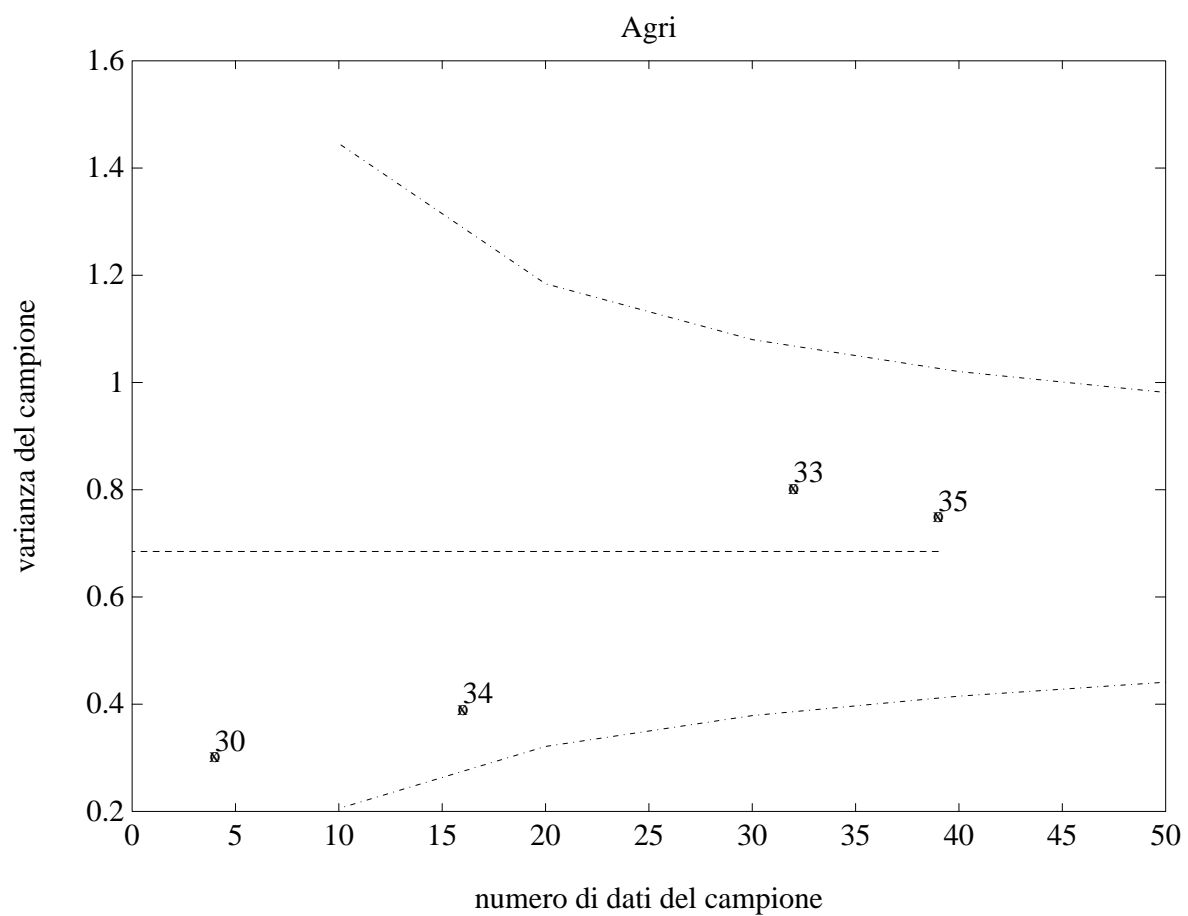


Figura 32. Bacini strumentati del SIMN. - Bacino dell'Agri - Test di costanza della varianza delle radici cubiche dei deflussi nella stagione secca (maggio-ottobre).

Bradano a Tavole Palatine

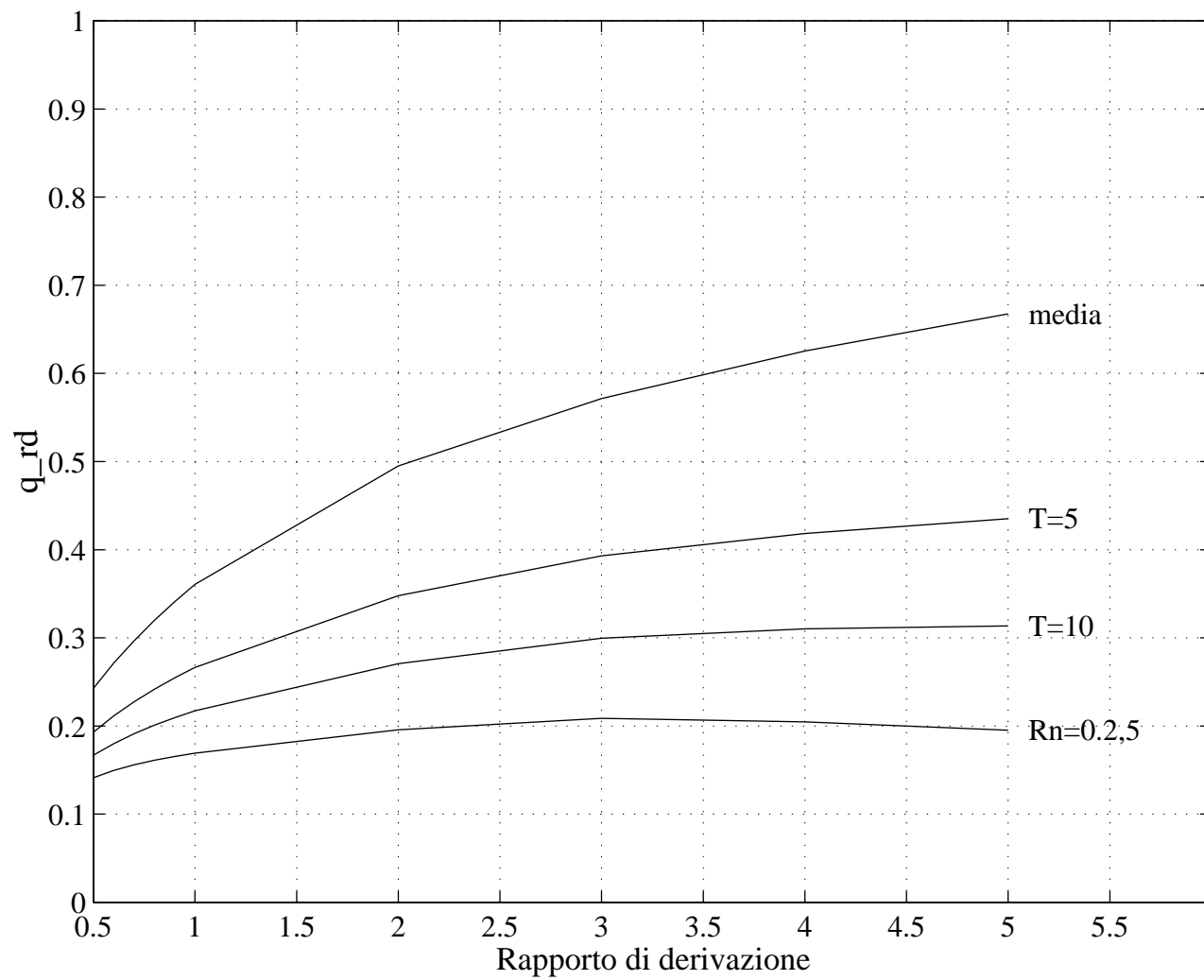


Figura 33. Curve probabilistiche di possibilità di derivazione.

Bradano a San Giuliano

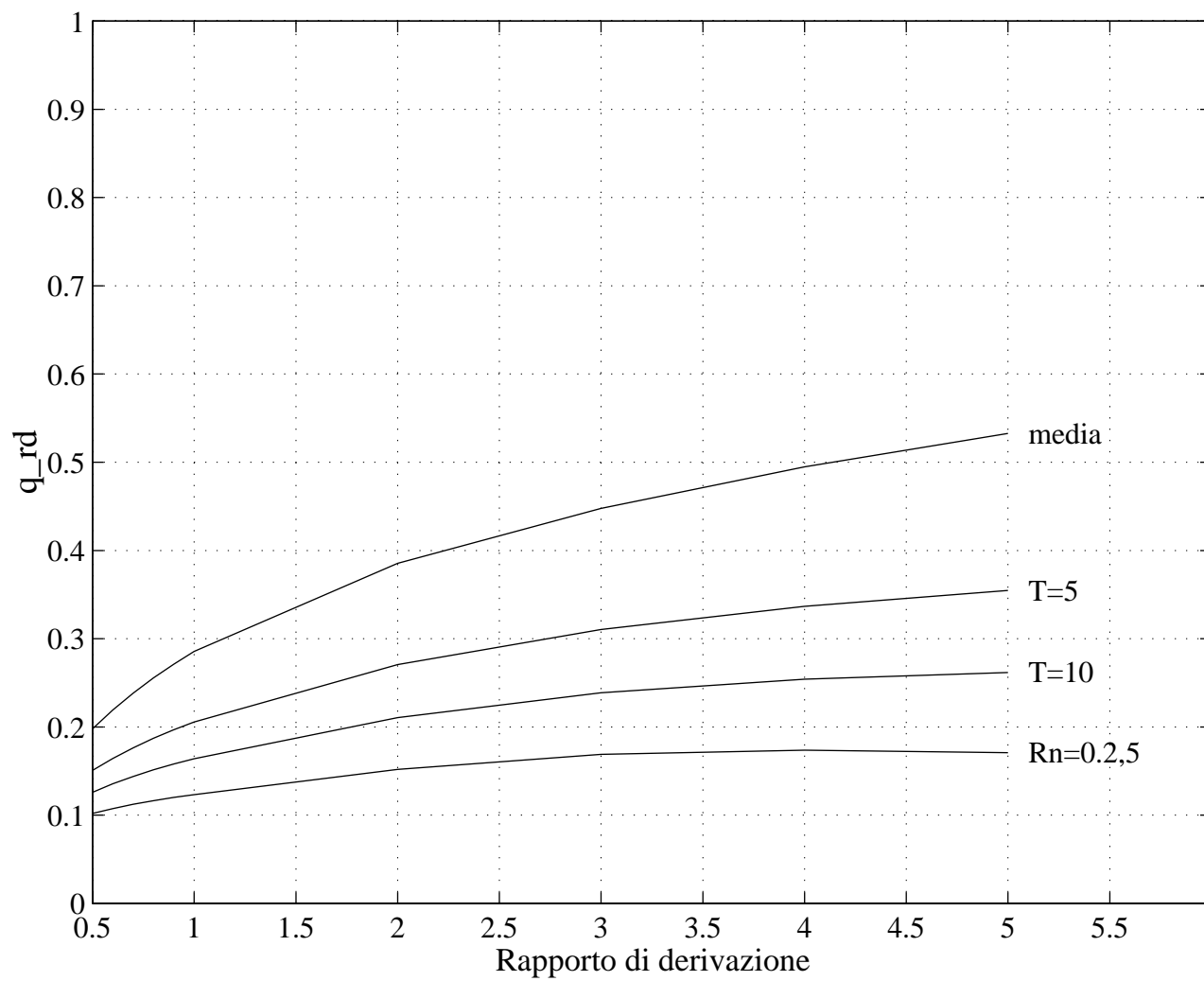


Figura 34. Curve probabilistiche di possibilità di derivazione.

Bradano a Ponte Colonna

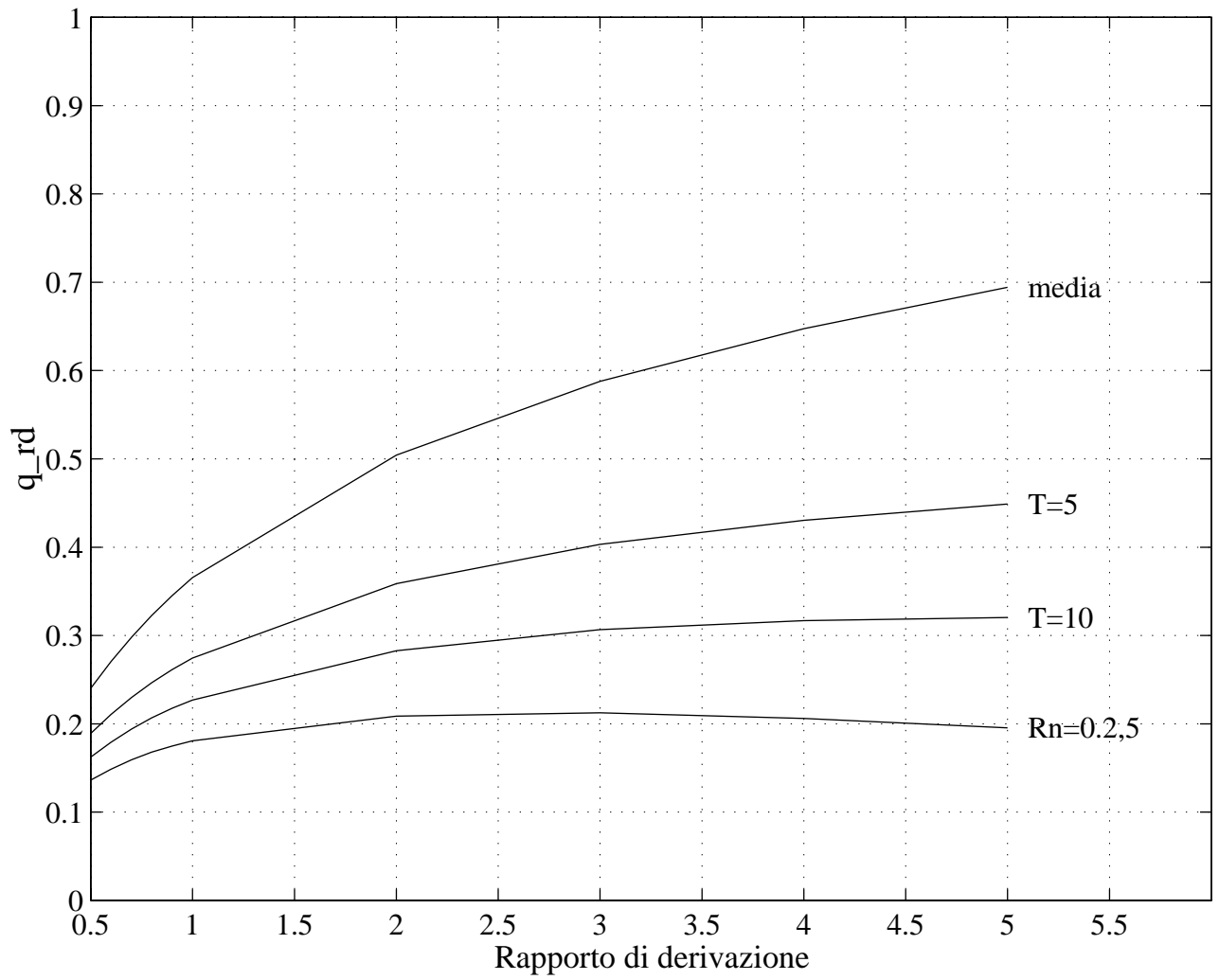


Figura 35. Curve probabilistiche di possibilità di derivazione.

Basento a Menzena

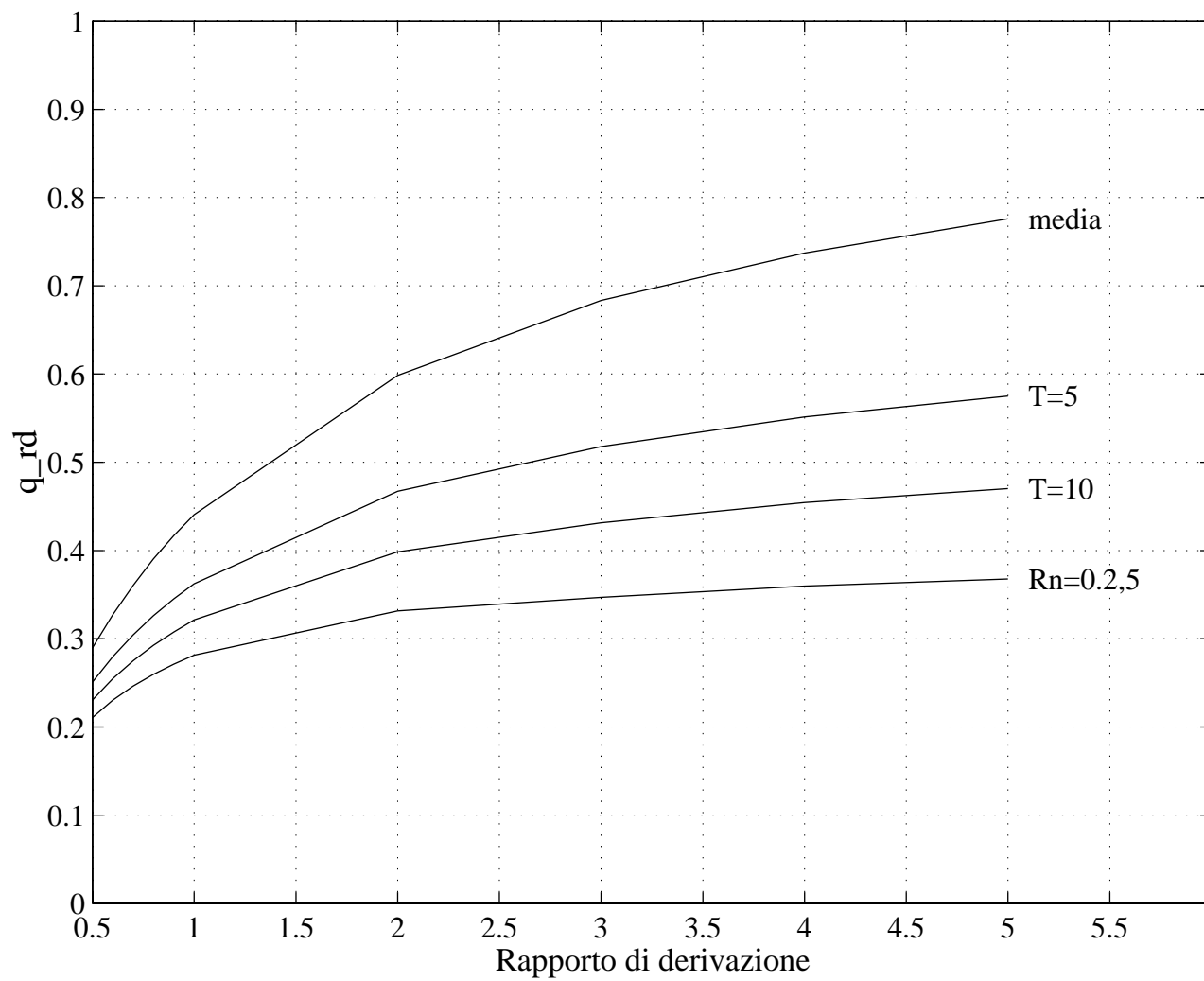


Figura 36. Curve probabilistiche di possibilità di derivazione.

Basento a Gallipoli

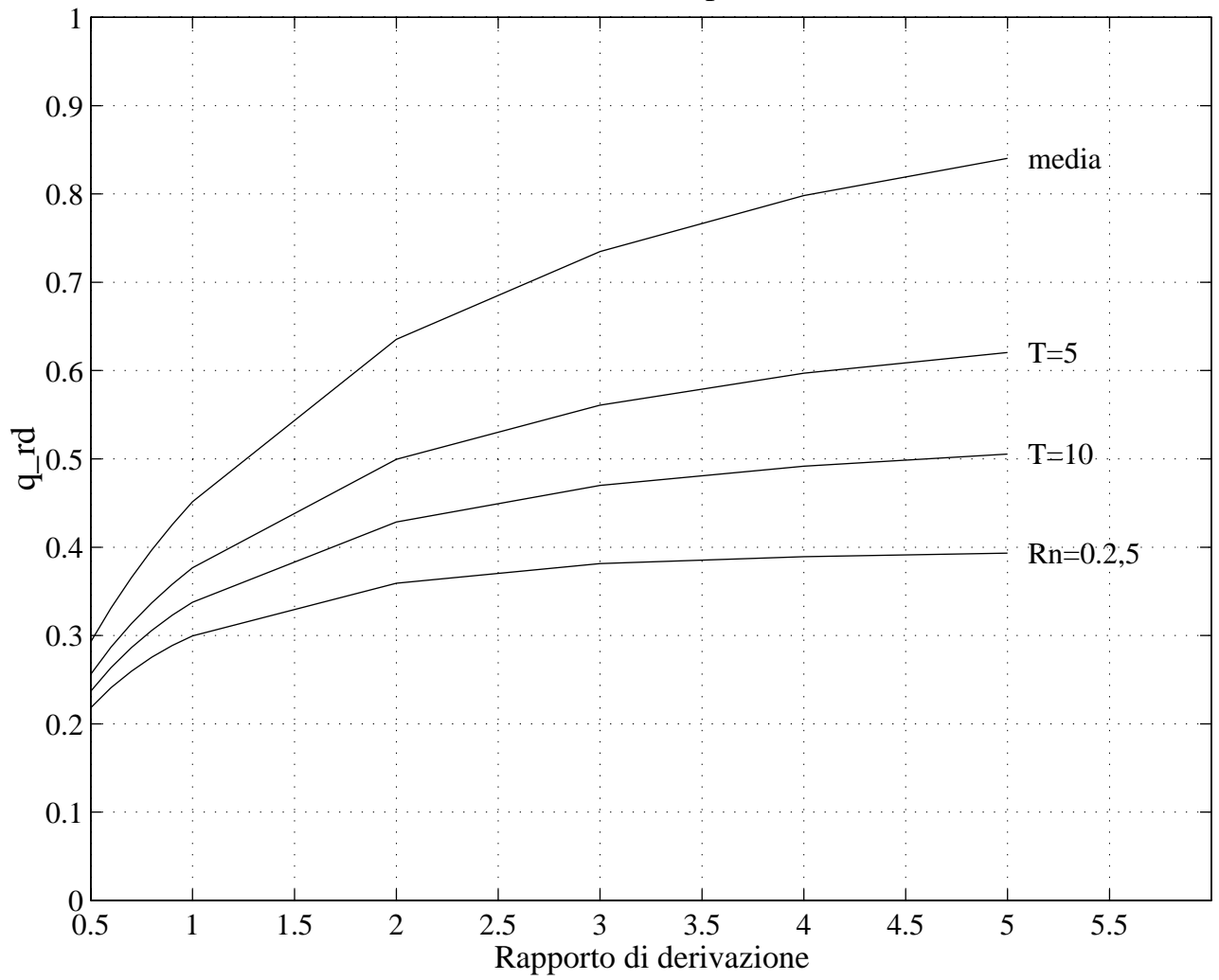


Figura 37. Curve probabilistiche di possibilità di derivazione.

Basento a Pignola

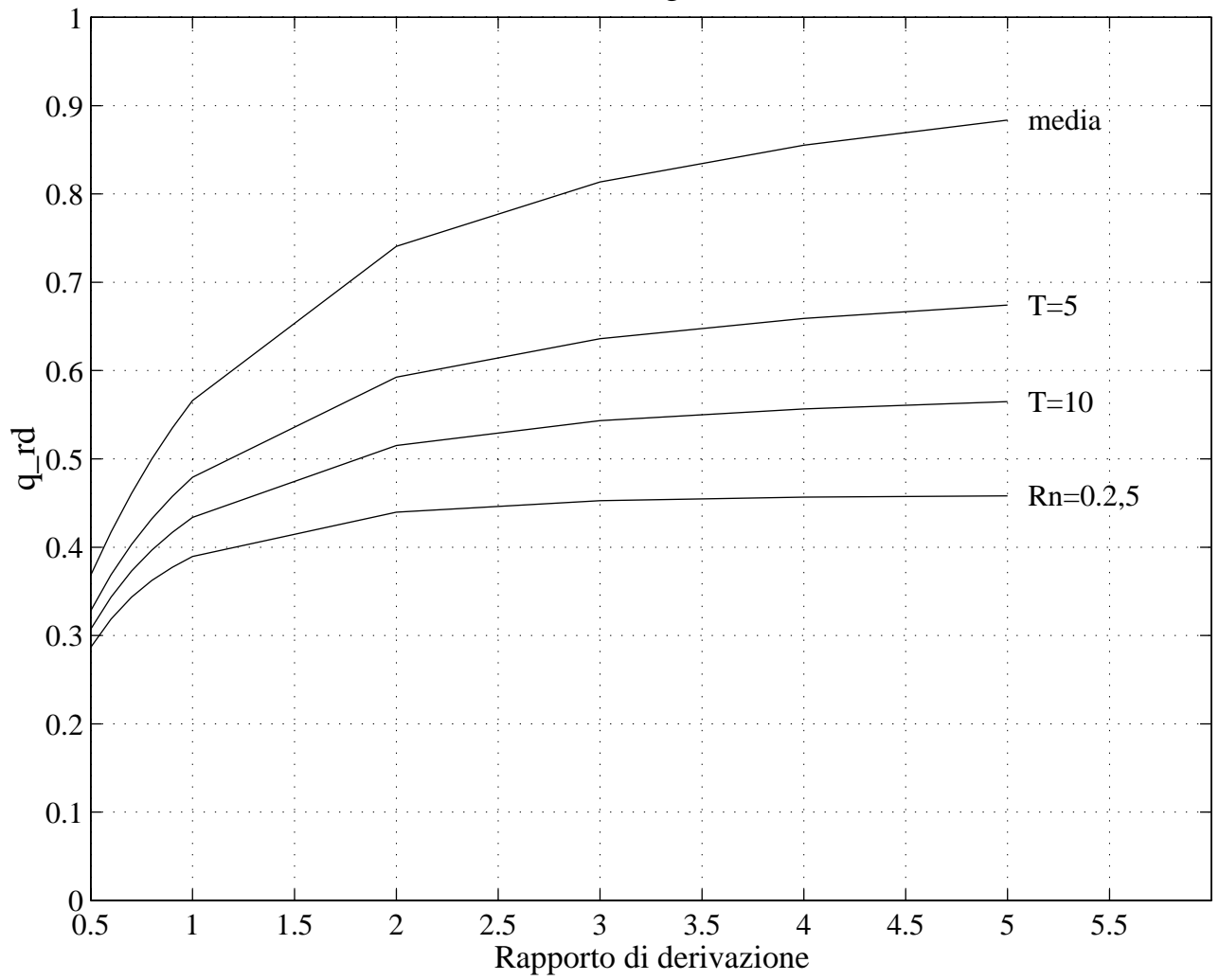


Figura 38. Curve probabilistiche di possibilità di derivazione.

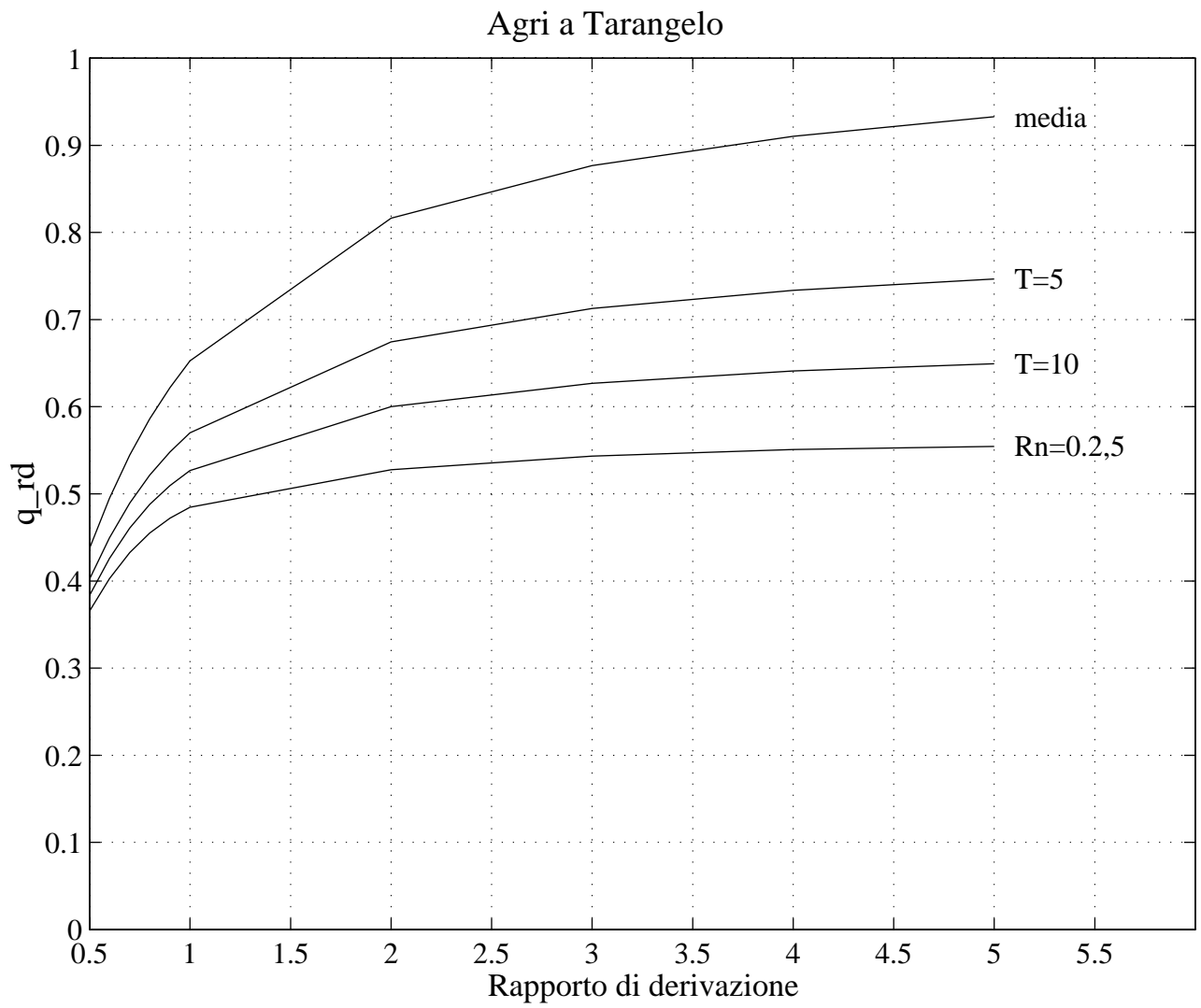


Figura 39. Curve probabilistiche di possibilità di derivazione.

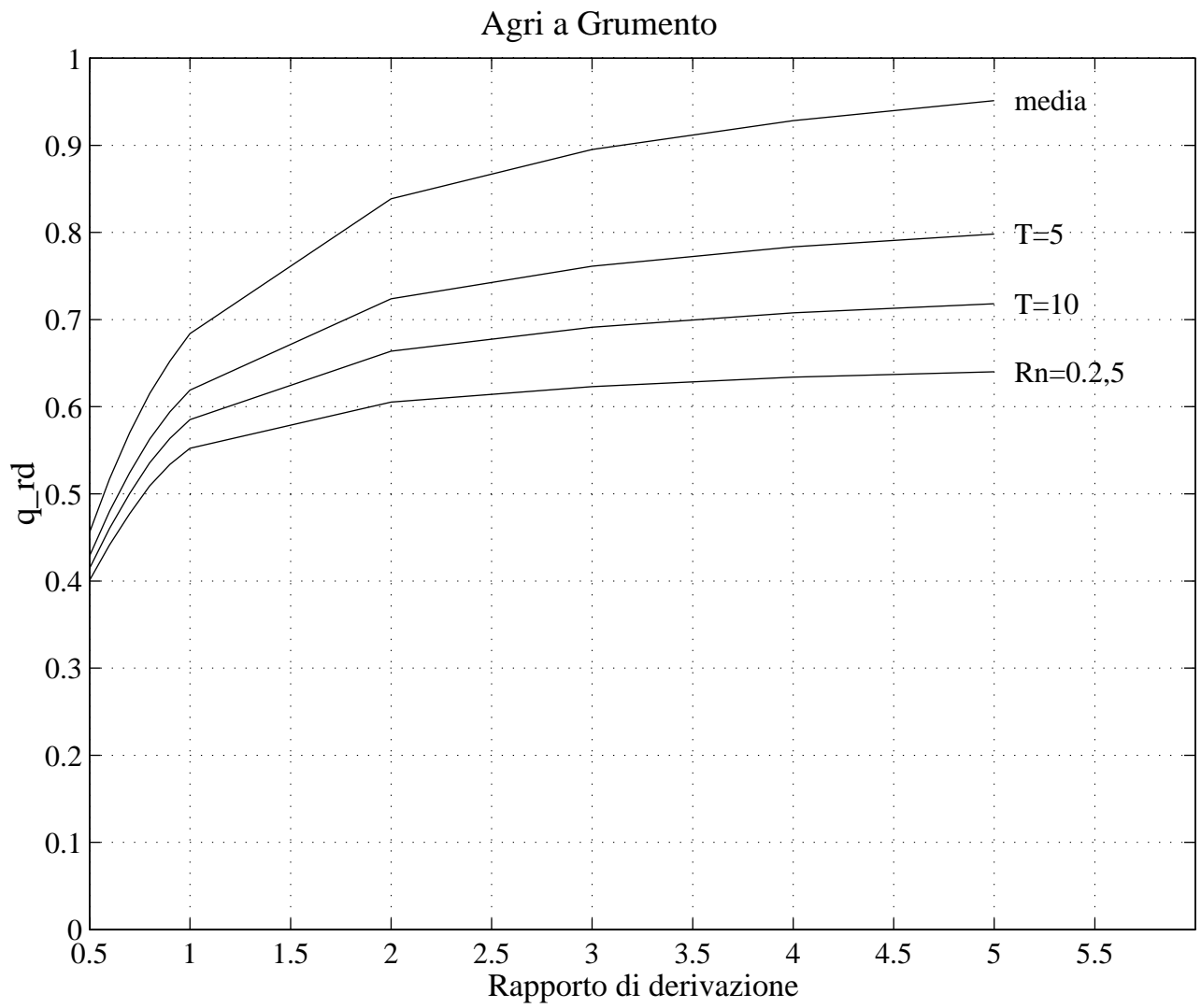


Figura 40. Curve probabilistiche di possibilità di derivazione.

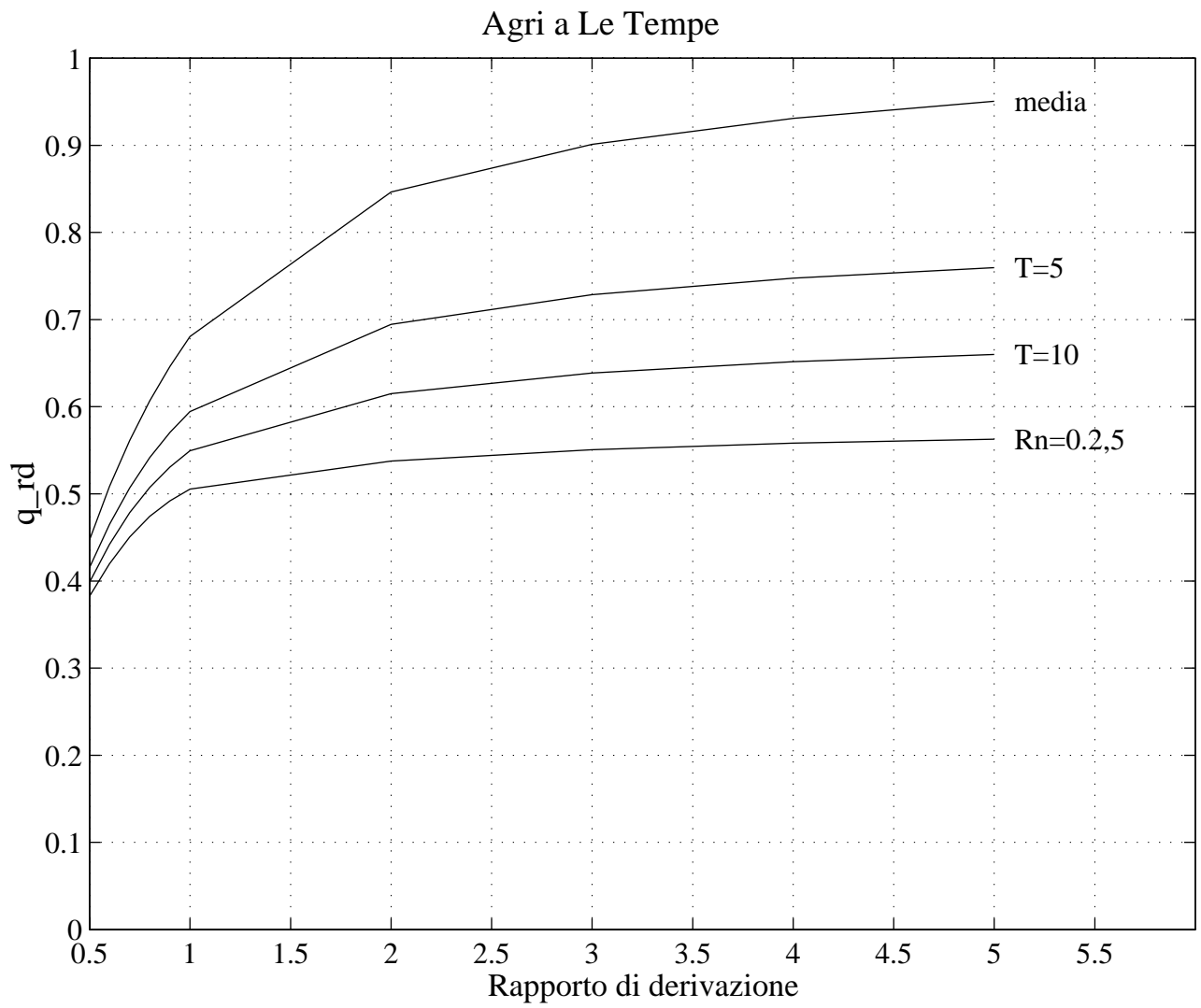


Figura 41. Curve probabilistiche di possibilità di derivazione.

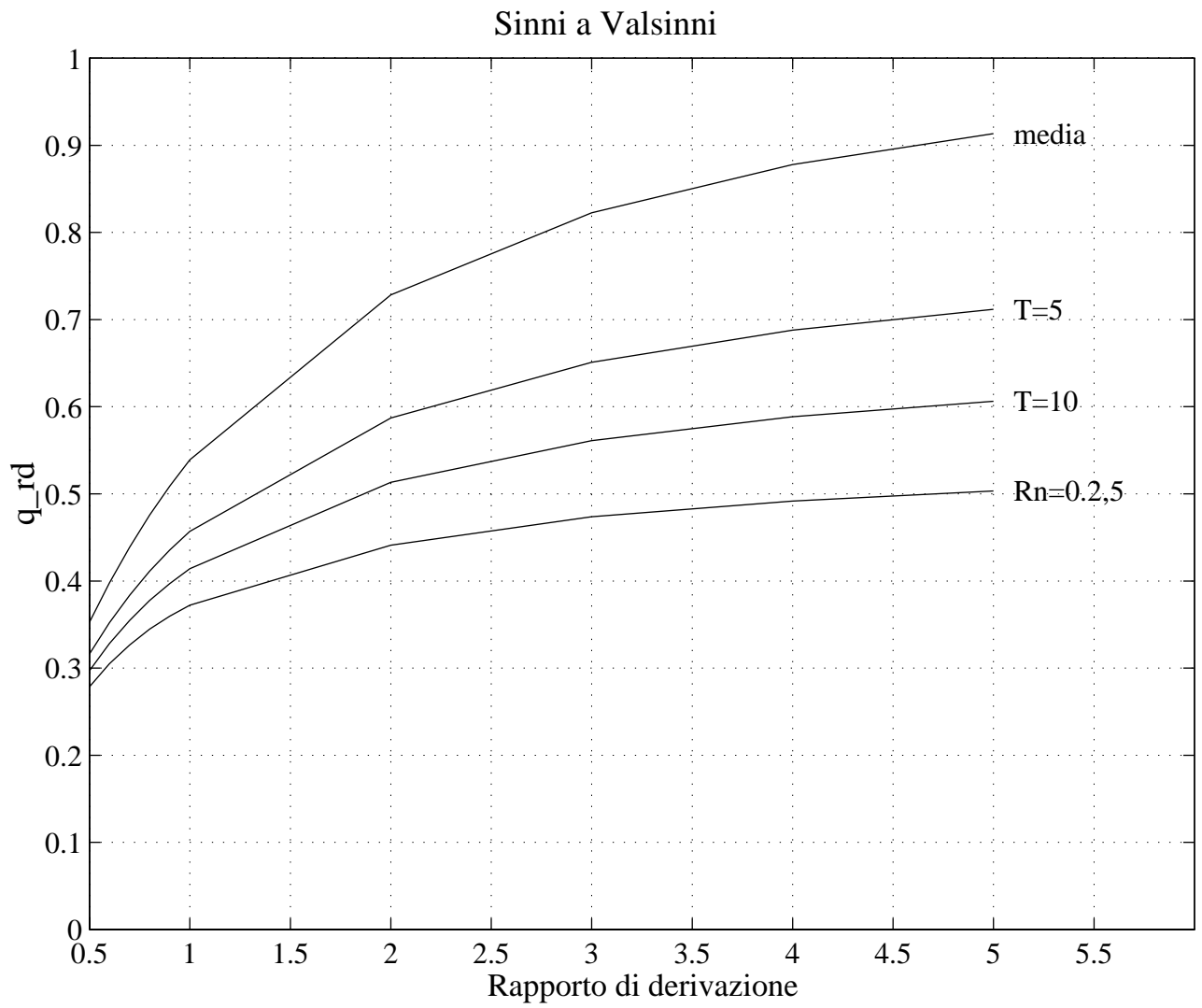


Figura 42. Curve probabilistiche di possibilità di derivazione.

Sinni a Pizzutello

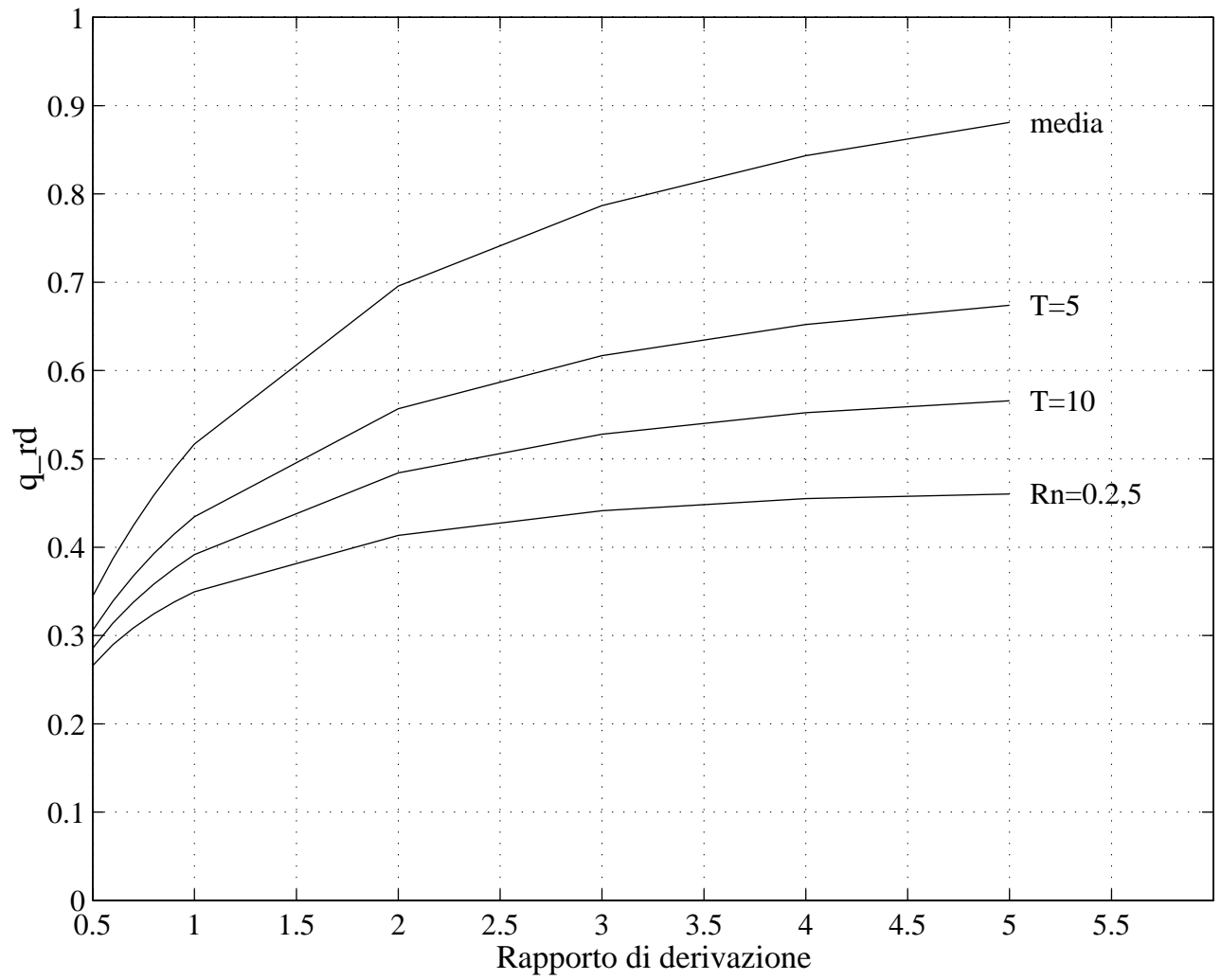


Figura 43. Curve probabilistiche di possibilità di derivazione.

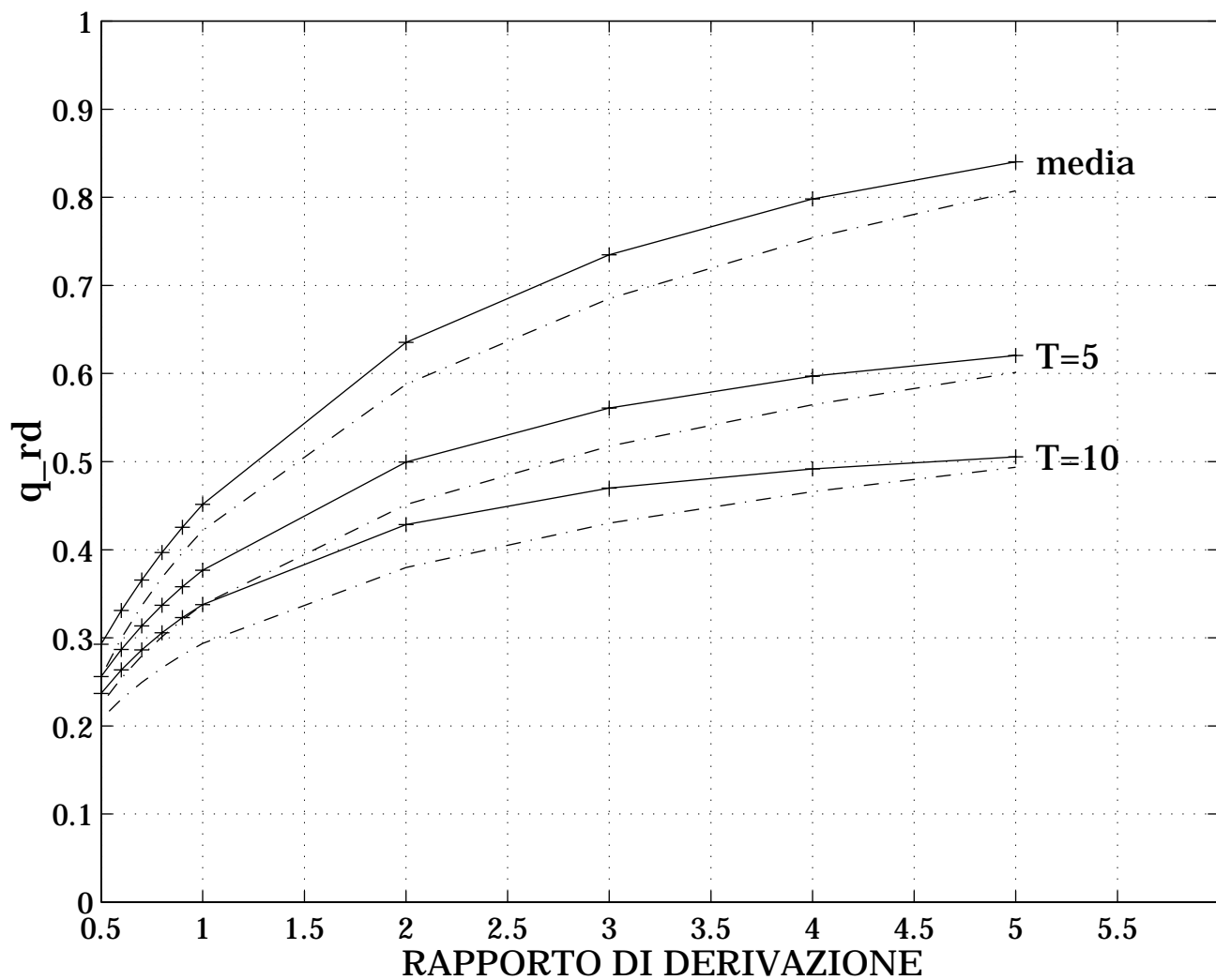


Figura 44. Curve probabilistiche di possibilità di derivazione calcolate dai dati (tratto continuo) e ricostruite (tratto e punto) alla sezione del Basento a Gallipoli.